

МИНИСТЕРСТВО ГЕОЛОГИИ СССР
БУРЯТСКОЕ ТЕРРИТОРИАЛЬНОЕ
ОРДENA ТРУДОВОГО КРАСНОГО ЗНАМЕНИ
ГЕОЛОГИЧЕСКОЕ УПРАВЛЕНИЕ
ЦЕНТРАЛЬНАЯ ГЕОЛОГИЧЕСКАЯ ЭКСПЕДИЦИЯ

ГОСУДАРСТВЕННАЯ
ГЕОЛОГИЧЕСКАЯ
КАРТА СССР
масштаба 1:200000

Серия Бодайбинская

Лист О-49.ЛXXVI

Объяснительная записка

Составил *Н. Ф. Зайцев*
Редактор *В. А. Сорокин*

Утверждено Научно-редакционным советом ВСЕГЕИ
10 апреля 1975 г., протокол № 11

ВВЕДЕНИЕ

По административному положению большая часть территории листа О-49 XXXVI относится к Северо-Байкальскому району Бурятской АССР и лишь незначительная часть — к Бодайбинскому району Иркутской области РСФСР. Площадь листа ограничена координатами $56^{\circ}00' - 56^{\circ}40'$ с. ш. и $113^{\circ}00' - 114^{\circ}00'$ в. д. от Гринвица (Северо-Восточное Прибайкалье).

Главными орографическими единицами района являются хребты Верхне-Ангарский, Делон-Уранский, Северо-Муйский, Муяканский, Южно-Муйский, которые вытянуты в северо-восточном направлении и разделены долинами крупных рек Чуро, Верхн. Ангара, Муяканы и Муи. Хребты и их отроги сильно расщленены и представляют собой горные сооружения альпино-типного облика. Они состоят из узких пилообразных гребней с крутыми, местами отвесными склонами, осложненными глубокими эрозионными ущельями, каньонами и трогами. Абсолютные отметки высот в хр. Северо-Муйском достигают 2542 м, а в хребтах Верхне-Ангарском, Делон-Уранском и Муяканском соответственно 2036, 2287 и 2349 м. Относительные превышения колеблются от 500—800 до 1000—1700 м.

Крупные отрицательные формы рельефа, кроме речных долин, представлены межгорными впадинами. Наиболее крупная из них — Муяканская впадина (300 km^2) отстает одноименный хребет от Северо-Муйского. Ковоктинская впадина (50 km^2) расположена в Северо-Муйском хребте, а Муйская (25 km^2) — разделяет Муяканский и Южно-Муйский хребты. Все впадины вытянуты в северо-восточном направлении и имеют довольно равные заболоченные или слегка всхолмленные, покрытые лесом поверхности с большим количеством мелких озер.

Гидрографическая сеть района принадлежит бассейнам оз. Байкала и р. Витима. К первому — относится р. Верхн. Ангара с крупными притоками Чуро, Ангаракан, ко второму — Муякан, Муя и Амнуна. Все реки имеют быстрое течение и изобилуют перекатами. Переправы через них возможны только в отдельных местах и в малую воду. Сплав на плотах и резиновых лодках возможен лишь по р. Муе и по рекам Верхн. Ангара и Муякану вблизи рамок листа. Крупные реки покрываются

льдом в середине октября и освобождаются от него в середине мая.

Климат района резко континентальный. Среднегодовое количества осадков в горах 800—1000, а в долинах рек 400—500 мм. В гольцовой зоне снег сохраняется до конца июня, а новый выпадает в начале сентября. В летнее время могут быть заморозки до 35° . Среднегодовая температура минус 50° , максимальная плюс 35° . Среднегодовая температура составляет минус 6° , в связи с чем в районе широко развита многолетняя мерзлота.

Растительный покров подчинен вертикальной зональности. По долинам рек развиты лиственница, сосна, тополь, береза, осина, рябина, ольха, багульник, а на более высоких участках размещаются кедр, ель, пихта. В гольцовой зоне растут кедровыми стланник, карпиковые лава и береза, а также мхи, лишайники. Ближайший поселок Уоян расположен в 180 км от западной балки. К поймам и террасам крупных рек приурочена луговая растительность. Животный мир района представлен всеми видами сибирской таежной фауны.

Населенные пункты и дороги на территории отсутствуют. Ближайший поселок Чуро, Верхн. Ангарана, Мужакана, Амчуги и Мун имеются тропы, которые проложены только для выночного транспорта. Высокогорная часть территории имеет сложное и очень сложное геологическое строение, меньшая часть (впадины) — простое. Высокогорная часть хребтов отличается хорошей обнаженностью, низкогорная — уловлетворительной. Обнаженность во впадинах плохая и очень плохая.

ГЕОЛОГИЧЕСКАЯ ИЗУЧЕННОСТЬ

Первые сведения о геологии района были получены еще в дореволюционное время и принадлежат А. К. Мейстеру [10], который прошел маршрутом по долинам рек Верхн. Ангары и Чуро. Он отметил ксенолиты кристаллических известняков и сланцев среди гранитоидов и дал отрицательную оценку золотоносности района.

После длительного перерыва геологическое изучение территории возобновилось в 1947 г. К. П. Калининой [23], которая провела в бассейне Муи геологическую съемку масштаба 1 : 1 000 000. Здесь были закартированы гранитоиды позднего протерозоя с ксенолитами метаморфических пород.

В 1957 г. сотрудники В. СЕГЕИ Е. А. Шалек и Н. Л. Колинская [35] провели маршрутные исследования в бассейнах рек Чуро и Верхн. Ангары, у западной рамки листа, и на междуречье Ангаракана и Ковокты. Метаморфические породы, развитые на левобережье Ангаракана, ими были описаны в составе вулканогенной толщи нижнего протерозоя, залегающей в блоке ксенолитов среди гранитоидов позднего протерозоя.

В 1957—1958 гг. В. В. Суслениников, О. В. Белоглазова и другие [33] провели в районе аэромагнитную съемку в масштабе 1 : 200 000. По ее данным район характеризуется положительными и отрицательными полями с плавными кривыми ДТ. Причем преобладают положительные напряжения магнитного поля, а отрицательные зафиксированы над юго-восточной частью площади листа, от верховьев Мужакана до бассейна Амнунды.

В 1965 г. вышла в свет работа В. А. Албагачевой [1] по условиям формирования источников горячих вод северного Забайкалья, куда входит и рассматриваемый район. В ней кратко описаны источники горячих вод, расположенные на левобережье Мужакана и Верх. Ангары.

П. А. Попов [29] провел в районе гравиметровую съемку в масштабе 1 : 1 000 000, согласно результатам которой площадь листа О-49-XXXVI расположена в пределах северо-восточной части Баргузинского минимума силы тяжести, обусловленного гранитоидами и прогибом земной коры (рис. 1).

В 1969 г. А. Л. Шпильков, Ю. Г. Горбунов и другие [36, 37] провели аэрогеофизические работы, в результате которых составлены карты гравиметрии ДТ, гамма-поля в масштабе 1 : 50 000 и карта магнитного поля в масштабе 1 : 200 000. Выявленная ими на левобережье Чуро магнитная аномалия (до 3400 гамм) обусловлена габбронодами бирюзинского комплекса кембрия (рис. 2).

В течение ряда лет (1907, 1908, 1914, 1932 и 1936 гг.) в районе севернее оконечности Байкала, куда входит и рассматриваемая площадь листа О-49-XXXVI, различными организациями проводились рекогносцировочные барометрические исследования с целью выбора трассы для Байкало-Амурской железнодорожной магистрали (БАМ). Этот вопрос, возникший еще в 1887 г. в связи с изысканием существующей ныне транссибирской железной дороги, был в основном решен в 1938 г. Инженерно-геологические изыскания вдоль проектируемой железной дороги в 1939—1942 гг. велись Бампроектом ГУЖДС НКВД, а в 1948 г. Желдорпроектом. При выполнении инженерно-геологических изысканий параллельно осуществлялась и оценка обеспеченности района трассы (Лена-Нижнеангарск-Тында-Ургал-Комсомольск-на-Амуре) строительными материалами.

В 1969 г. Д. Е. Плотникова [28] по заданию Главтрансстроя Министерства транспортного строительства и Главстройпрома обобщила результаты инженерно-геологических, а также геологосъемочных и разведочных работ, проведенных на расстоянии до 50 км от трассы проектируемой железной дороги. В результате обобщения был сделан вывод о том, что район этой трассы в настоящее время не обеспечен запасами строительных материалов, но весьма перспективен на выявление их месторождений с крупными запасами.

Площадь листа О-49-XXXVI заснята геологической съемкой в м-бе 1 : 200 000 в течение четырех полевых сезонов Верхне-Ангарской геологотъемочной партией Бурятского геологического управления под руководством В. А. Сорокина (1969 г.).

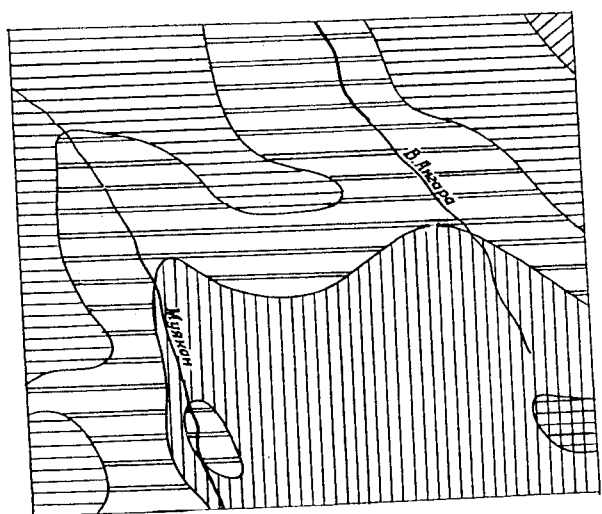


Рис. 1. Карта изобатмал силы тяжести (Составлена по материалам П. А. Попова. Редукция Бугс $\sigma = 2,67 \text{ г/см}^3$)
(Составлена по материалам П. А. Попова. Редукция Бугс $\sigma = 2,67 \text{ г/см}^3$)
Отрицательные значения изобатмал силы тяжести (в мг/с): 1 — выше 155;
2 — 155—105; 3 — 105—175; 4 — 175—185; 5 — ниже 185

Л. Е. Иванова (1970 г.) и И. С. Картюшкина (1971—1972 гг.). Полевые работы проведены на качественной топографической основе М-ба 1 : 100 000, составленной в системе координат 1942 г. по материалам стереотопографической съемки 1950 г. Топографическая выполнена в соответствии с требованиями «Наставления нова» выполнена в соответствии с требованиями «Наставления по производству топографических съемок в неисследованных и

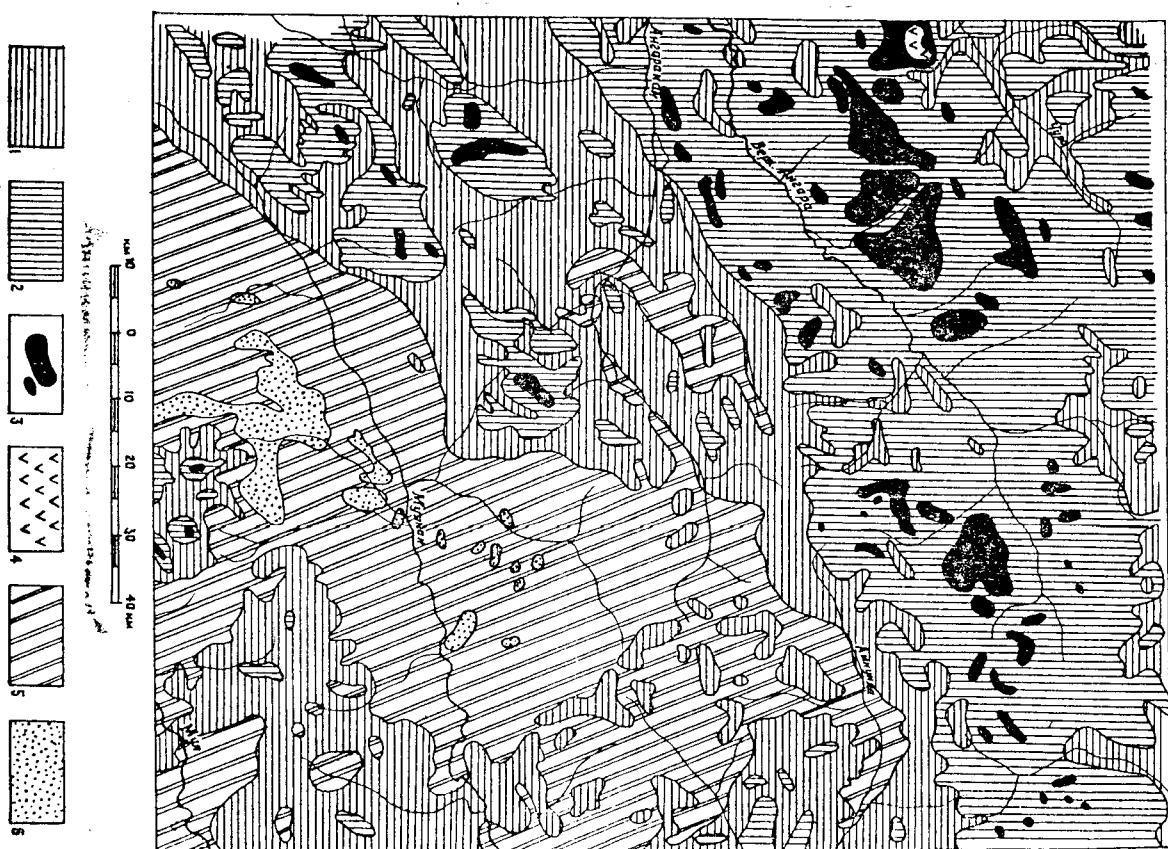


Рис. 2. Карта магнитного поля
(Составлена по материалам А. Л. Шипилькова)
Положительные значения ΔT (в гаммах): 1 — 0—200; 2 — 200—400; 3 — 400—600; 4 — выше 600; отрицательные значения ΔT (в гаммах): 5 — 0—200; 6 — ниже 200

у западной границы листа и отнесенные Ю. М. Бажиным [19] к добыренскому комплексу, по данным наших исследований, являются аналогами пород бирюльинского комплекса.

При составлении карт и записи к ним использованы аэрофотоснимки м-ба 1 : 33 000 и 1 : 43 000 удовлетворительного качества и дешифрируемости, данные региональных геофизических исследований [29, 33, 36, 37] и материалы Верхне-Ангарской партии Центральной геологической экспедиции Бурятского геологического управления [24].

В проведении полевых работ, камеральной обработке материалов и составлении геологической карты, карты полезных ископаемых участвовали В. А. Сорокин, Л. Е. Иванов, Н. С. Картошкин, А. А. Ушаков, В. Ф. Жерлов, Б. Г. Степин, С. В. Андрющенко и В. В. Хохлов.

Издательский вариант геологической карты и карты полезных ископаемых листа О-49-XXXVI составили П. Ф. Зайцев, А. А. Ушаков и И. С. Картошкин, а объяснительную записку к ним — П. Ф. Зайцев.

Химико-аналитические работы (Р. И. Томина, О. Н. Дудина, Е. И. Гершман, О. И. Курминская, С. Б. Егорова, С. М. Смирнова, И. И. Новикова, В. С. Гречаник), определение абсолютного возраста горных пород (В. Т. Черных) и спорово-пыльцевые анализы (Э. А. Поставская) проведены сотрудниками Центральной лаборатории Бурятского геологического управления (ЦЛБГУ). Минералого-петрографические исследования выполнены работниками Верхне-Ангарской партии А. А. Ушаковым, Э. А. Картошкиной, В. Н. Рыбалко, С. В. Андрияновым, В. М. Ладаевой, Г. И. Фишевой и Т. Е. Пелепятиной.

Сведения о полезных ископаемых даны на карте по состоянию на 1 января 1973 г.

При сбояке листа О-49-XXXVI со смежными О-49-XXXV [19], О-49-XXXI [30], О-50-XXXI [9] и N-49-VI [5] имеются некоторые расхождения как в трактовке возраста и индексации отдельных геологических образований, так и в проведении границ четвертичных отложений и тектонических контактов. Так, по южной рамке рассматриваемого листа гранитоиды, относящиеся к восточной рамкам рассмотренным [5] и А. А. Малышевым [9] к двум несущим Д. Жалсабоном [5] и А. А. Малышевым [9] к двум фациям баргузинского комплекса позднего протерозоя, на них выделены соответственно в составе двух фаз (на основе четких интрузивных контактов) конкудеро-мамаканского комплекса кембрия, поскольку они являются непосредственным продолжением полей развития гранитоидов*, рвущих на территории листа О-49-XXXV отложения холдинской свиты нижнего кембра [19]. Габброиды, обнажающиеся на левобережье р. Чуро

у западной границы листа и отнесенные Ю. М. Бажиным [19] к добыренскому комплексу, по данным наших исследований, являются аналогами пород бирюльинского комплекса.

Верхнечетвертичные водно-ледниковые отложения, выделенные А. А. Малышевым [9] на левобережье р. Мужана вдоль восточной границы листа О-49-XXXVI, однозначно датируются как пролювиальные отложения того же возраста.

В юго-западном углу листа О-49-XXXVI (на границе с листом О-49-VI) и вдоль долины р. Джагалукты (на границе с листом О-50-XXXI) картируются не зафиксированные предыдущими исследователями ледниковые отложения. Кроме того, имеются неувязки по южной рамке листа: на левобережье Муны — пещерователями ледниковые отложения, на правобережье — неувязки по южной рамке листа: на левобережье Муны — современные (речные).

По северной рамке листа О-49-XXXVI Л. В. Ревякиным [30] выделены преимущественно болотковые и только лишь на правобережье Лев. Мамакана закартированы амфиболовые и биотит-амфиболовые разности гранитоидов, а по нашим данным как те, так и другие наблюдаются совместно и связаны постепенным переходами. Разрывные нарушения и гнейсовидные гранитоиды, которые не были закартированы предыдущими исследователями по границам смежных листов, хорошо дешифрируются по аэрофотоснимкам и подтверждаются фактическим материалом.

СТРАТИГРАФИЯ

В геологическом строении рассматриваемой территории принимают участие нижнепротерозойские и четвертичные образования. Первые представлены геосинклинальными вулканогенными осадочными отложениями, которые отнесены к верхней подсерии мускайской серии, а вторые — рыхлыми континентальными, различными по генетическому типу нижнечетвертичными, среднечетвертичными, верхнечетвертичными и современными осадками, принадлежность которых к определенным горизонтам не установлена.

НИЖНИЙ ПРОТЕРОЗОЙ

Мускайская серия. Верхняя подсерия (PR_{ms2})

Породы, обнаженные в верхнюю подсерию мускайской серии, распространены преимущественно на левобережье Ангаракана и на правобережье среднего течения р. Мужакана, слагая про-

* Часть массивов упомянутых гранитоидов, по мнению Ю. М. Бажина [19], может иметь и более древний (верхнепротерозойский) возраст, о чем свидетельствуют определения их абсолютного возраста.

весь кровли гранитоидного батолита. Выделение их основано на сходстве состава с отложениями нижнего протерозоя смежных районов, куда они переходят по простиранию [5]. В пределах рассматриваемой территории породы верхней подсерии муйской серии впервые были выделены К. П. Калининой [23], которая относила их к образованиям докембрия. Позднее Е. А. Шалек и Н. Л. Колпинская [35] отнесли эти породы к нижнему протерозою.

Более детально отложения нижнего протерозоя были изучены Д. Жалсабоном [5] на площади листа N-49-VI в составе двух различных по составу вулканогенных толщ горбылковской серии, разделенных местами мощной толщей морских карбонатно-терригенных образований. На изученной нами территории отложения нижнего протерозоя представлены преимущественно различными породами и, по-видимому, соответствуют средней части разреза горбылковской серии, описанного Д. Жалсабоном [5].

Разрез свиты, изученный по отдельным коренным обнажениям и деловилю на левобережье Ангаракана в пределах северо-западного крыла Ковоктинской синклиналии, представлен плагиоклаз-кавард-хлоритовыми, кварц-плагиоклаз-мусковитовыми, мусковит-плагиоклаз-микроклин-каварцевыми, кварц-актинолитовыми, двуслюдянными, биотит-хлоритовыми, кварц-плагиоклаз-биотит-хлоритовыми сланцами с отдельными слоями кварцитов, амфиболитов и известняков. Мощность верхней подсерии муйской серии здесь составляет 2300 м. Характерной особенностью отложений является тесное переслаивание различных по составу сланцев и их фациальная изменчивость. Прослой кварцитов (до 18 м) и амфиболитов (до 40 м) встречаются по всему разрезу без какой-либо закономерности в распределении, а карбонатные породы приурочены к верхам разреза.

В зоне контактового метаморфизма гранитоидов более позднего возраста породы верхней подсерии муйской серии превращены в кристаллические сланцы, гнейсы и мигматиты. Поэтому набор пород в разрезе верхней подсерии муйской серии палеоген-западном продолжении Ковоктинской синклиналии в правобережье одноименной реки заметно отличается от вышеописанного. Здесь разрез этой подсерии, составленный по непрерывным коренными обнажениям, имеет следующий вид (снизу вверх, в м):

1. Серые биотитовые, биотит-роговообманковые гнейсы	500
2. Темно-серые плагиоклаз-кавард-роговообманковые сланцы	330
3. Чертевование прослоев темно-зеленых биотит-актинолитовых сланцев (5–10 см) и биотит-роговообманковых гнейсов (15–20 см)	150
4. Чертевование прослоев серых кварц-биотит-роговообманковых (20–25 см) и светло-серых биотит-плагиоклаз-каварцевых сланцев (7–15 см) с прослоями амфиболитов в интервалах 208–209,5 и 405,5–407,0 м от основания пакки	590

5. Темно-серые биотит-актинолитовые сланцы	25
6. Серые кварц-плагиоклаз-биотит-роговообманковые сланцы	10
7. Серые кварц-плагиоклаз-биотит-роговообманковые сланцы	40
8. Темно-серые кварц-плагиоклаз-биотит-роговообманковые сланцы	50
9. Светло-серые биотит-плагиоклаз-каварцевые сланцы	210
10. Двуслюдянно-каварцевые сланцы	10
11. Темно-серые кварц-плагиоклаз-актинолитовые сланцы	60
12. Серые кварц-биотит-роговообманковые сланцы	30
13. Темно-серые кварц-плагиоклаз-актинолитовые сланцы	40
14. Серые кварц-биотит-роговообманковые сланцы	10
15. Серые и светло-серые кристаллические известняки и доломиты	45
16. Серые кварц-биотит-роговообманковые сланцы с прослоями двуслюдянок кварцитов в интервалах 145–162 и 201–219 м от основания пачки	235
Мощность разреза верхней подсерии муйской серии на длином участке 2335 м.	

Юго-восточнее на правобережье р. Муяканда разрез верхней подсерии муйской серии отличается от вышеописанного наличием более мощной пачки известняков в верхах разреза и присутствием метаморфизованных эфузивов кислого состава в средней части толщи. Здесь разрез составлен также по непрерывным обнажениям и представлен в следующем виде (снизу вверх, м):

1. Светло-серые биотит-роговообманковые гнейсы	180
2. Серые двуслюдянно-каварцевые гранатодержащие сланцы с прослоем метаморфизованных эфузивов кислого состава в интервале 12–22 м от основания пачки	52
3. Светло-серые сланцеватые метаэфузиты кислого состава	55
4. Серые плотные двуслюдянно-каварцевые гранатодержащие сланцы	119
5. Чертевование прослоев светло-серых двуслюдянно-полевошпатовых гранатодержащих (5 м) и биотитовых (10 м) сланцев. В интервале 18–22 м от основания пачки — прослой метаэфузитов кислого состава	52
6. Светло-серые метаэфузиты кислого состава с прослоем двуслюдянно-полевошпат-каварцевых сланцев, в интервале 101–103 м от основания пачки	187
7. Чертевование прослоев серых и светло-серых двуслюдянно-полевошпат-каварцевых (3 м) и мусковит-каварцевых (7 м) сланцев. В интервалах 101–111 и 201–203 м — прослой метаэфузитов кислого состава и кварцитов	297
8. Серые двуслюдянно-полевошпат-каварцевые сланцы	185
9. Светло-серые и серые кристаллические известняки и доломиты	145

Неполная мощность верхней подсерии муйской серии в данном разрезе 1300 м. Полная мощность, засечь ее может быть определена виду напластования пачек.

Южнее, по направлению к р. Муе, в разрезе верхней подсерии муйской серии отмечается постепенное увеличение мощности вулканогенных пород, и за пределами рассматриваемого района мощность синхронных вулканогенных пород горбылковской серии, по данным Д. Жалсабона [5], возрастает до 5600 м. Кристаллосланцы и гнейсы — это светло-серые, темно-серые, местами темно-зеленые полосчатые, сланцеватые породы тонко-мелкозернистого (0,04–0,2 мм) сложения. Они состоят из кварца (до 85%), плагиоклаза (до 75%), микроклина (до

30%), биотита (до 40%), тремолита (до 10%), актинолита (до 99%), мусковита (до 50%), хлорита (до 83%) и серицита (до 1%). Аксессорные — рудный минерал, апатит, сфен, циркон и ортит. В зависимости от количественного соотношения указанных минералов среди сланцев выделяются следующие разновидности: плагиоклаз-карил-хлоритовые, кварц-плагиоклаз-мусковитовые, мусковит-плагиоклаз-актинолитовые, двуслюдянные, биотит-хлоритовые, кварц-плагиоклаз-биотит-хлоритовые.

В зоне контактового воздействия гранитоидов конкудеромамаканского комплекса в сланцах появляются роговая обманка (до 75%), диопсид (до 12%), пизит, клиноцизит (до 60%), силлиманит (до 16%), андалузит (до 3%), координерит (до 27%), ставролит (до 5%) и гранат (до 15%). Здесь развиты биотит-хлоритовые, биотит-роговообманковые, плагиоклаз-биотит-роговообманковые, кварц-плагиоклаз-биотит-роговообманковые, кварц-биотитовые, кварц-роговообманковые, плагиоклаз-эпилот-хлоритовые, кварц-роговообманковые, кристаллические сланцы и гнейсы. Гнейсы в отличие от сланцев характеризуются яснозернистым сложением (размер зерен более 0,2 мм) и состоят из полевых шпатов (не менее 30%), кварца (до 50%) и цветных минералов, при обязательном преобладании полевых шпатов над последними. Структура сланцев и гнейсов лепидогранобластовая, гранобластовая, гранолепидобластовая, реже лепидобластовая, нематобластовая и фибробластовая.

Мигматиты развиты только в зонах контактового воздействия гранитоидов кембрия. Среди них выделяются полосчатые, реже очковые, теневые, складчатые и линзовидные разности. Мощность полос субстрата и инъецирующего гранитного материала достигает 0,3—1,5 см.

Карбонатные породы представлены светло-серыми, серыми, белыми мелко- и крупнокристаллическими слоистыми известняками и доломитами. В виде примесей в них присутствуют кварц, плагиоклаз, мусковит, скалолит и графит. Структура гранобластовая. Химический состав карбонатных пород приведен в табл. 1.

Метаэфузивы кислого состава — это светло-серые сланцеватые, очково-сланцеватые тонко- и мелкозернистые породы с лепидогранобластовой структурой. Они состоят из плагиоклаза (10—40%), кварца (30—70%), микроклина (10—28%), биотита (до 10%), мусковита (1—25%), хлорита, эпилота, клиноцизита и серицита. Аксессорные минералы — апатит, циркон, гранат, ортит и рудный минерал. Слюдистые побообразования заполняют промежутки между зернами кварца и полевых шпатов, как бы обтекая их.

Кварциты — это светло-серые плотные мелко-среднезернистые (0,2—2,8 мм) слоистые породы. В их составе преобладает

кары (70—98%), в нем большом количестве присутствуют биотит, пизит, эпилот, мусковит, селенит, хлорит. Аксессорные — сфен, апатит, циркон и рудный минерал. Структура гранобластовая.

Амфиболиты — это

темно-зеленые, черные грубололосчатые сланцеватые мелко-среднезернистые породы с гранобластовой и гранонематобластовой структурами. Состав они из роговой обманки (30—96%), плагиоклаза (13—50%) и небольшого количества микроклина, кварца, биотита, пизита, серицита и хлорита. Аксессорные — рудный минерал, циркон, апатит, сфен, гранат.

Породы верхней подсерии мусковитовой серии испытывали региональный метаморфизм в условиях фации зеленных сланцев. Такие слабо метаморфизованные породы фиксируются лишь в удалении от границы баголита, в средней части провесов кровли. В этих породах установлены следующие минеральные ассоциации: кварц-плагиоклаз-тремолит, кварц-плагиоклаз-мусковит, кварц-плагиоклаз-биотит-хлорит, биотит-актинолит, кальцит-доломит, кальцит-тремолит. В других местах региональный метаморфизм затушеван kontaktовым

ХИМИЧЕСКИЙ СОСТАВ КАРБОНАТНЫХ ПОРОД МУЙСКОЙ СЕРИИ ВЕРХНЕЙ ПОДСЕРИИ НИЖНЕГО ПРОТЕРОЗОЯ

№ проб	Место взятия пробы	Содержание, %									Сумма	
		SiO ₂	Al ₂ O ₃	Fe ₂ O ₃	FeO	MnO	P ₂ O ₅	TiO ₂	CaO	MgO	SO ₃	
5342 ^е	Правобережье р. Ковокты	0,66	—	0,35	0,04	0,05	0,07	0,12	55,74	0,63	0,01	42,76
5342 ^з	То же	2,50	0,44	0,16	0,32	0,09	0,04	0,20	48,27	4,74	0,11	42,60
5342 ^ж		33,50	0,37	0,15	0,36	—	0,21	0,10	29,96	14,96	0,06	20,16
5342 ^г		42,78	—	0,06	0,79	—	0,19	0,14	23,80	18,58	0,05	12,96
												5342 ^г — доломит;

5342^е — известняк *; 5342^з — доломитистый известняк; 5342^ж — окварцованный известковистый доломит; 5342^г — окварцованный доломит.

* Химические анализы карбонатных пород пересчитаны на минеральный состав по классификации С. Г. Вишнякова [1937 г.].

метаморфизмом, связанным с гранитоидами канского комплекса. Здесь уже появляются кристаллические сланцы, гнейсы, мигматиты, для которых типичны следующие ассоциации минералов: кварц-плагиоклаз-биотит-роговая обманка, кварц-пла-

гиоклаз-микроклин-биотит, кварц-плагиоклаз-биотит-мусковит, кварц-плагиоклаз-биотит-кордиерит-биотит-гранат, кварц-обманка-кальцит-скаполит-диопсид, плагиоклаз-биотит-клинодиопсид, характерные для эпидот-гранат-диопсид-клинодиопсита.

* В рассматриваемом районе нижняя и верхняя возрастные границы муйской серии не могут быть установлены. За пределами листа О-49-XXXVI, в бассейне р. Самокута, расположенного восточнее описываемого района, отложения муйской серии ниже его протерозоя неогласно залегают на архейских породах II, в свою очередь, перекрываются базальными конгломератами муттунной свиты верхнего протерозоя [13, 27]. В бассейне р. Большой Падры породы муйской серии и прорывающие их гранитоиды перекрывают отложения падринской серии среднего протерозоя [13].

Результаты определения абсолютного возраста пород муйской серии, выполненные калий-аргоновым методом, по валовым пробам, приведены в табл. 2.

Из табл. 2 видно, что по абсолютному возрасту кристаллические сланцы муйской серии верхней подсерии принадлежат

РЕЗУЛЬТАТЫ ОПРЕДЕЛЕНИЯ АБСОЛЮТНОГО ВОЗРАСТА КРИСТАЛЛИЧЕСКИХ СЛАНЦЕВ МУЙСКОЙ СЕРИИ ВЕРХНЕЙ ПОДСЕРИИ

Таблица 2

Место взятия пробы	Породы	Абс. воз-раст, млн. лет	K_{Ar} , %	$\frac{A_{\text{Ar}}}{K_{\text{Ar}}}$, гр	$\frac{A_{\text{Ar}}}{K_{\text{Ar}}}$, %	Абсол., %
Правобережье Кировского (проба 5174а)	Кристалличес- кий сланец	271 283	0,31 0,41	0,0162 0,0170	53,4 58,8	
Правобережье Орана (проба 1431)	То же	188 194	2,59 36,3	34,3 0,0114	30,7 36,6	

* Поскольку вопросы метаморфизма изучены на данной стадии еще недостаточно, то не исключено, что указанные метаморфические зоны характеризуют однотактный ареально-контактовый метаморфизм, связанный с гранитоидами.

позднему палеозою — раннему мезозою. Отложение возраста пород обусловлено более поздними тектоническими движениями, очевидно, связано с утечкой из них аргона.

ЧЕТВЕРТИЧНАЯ СИСТЕМА

Нижнечетвертичные отложения (Q_1)

Нижнечетвертичные аллювиальные отложения установлены в среднем течении р. Мужкана, где они перекрыты средне- и верхнечетвертичными осадками. Разрез рассматриваемых отложений, вскрытых в уступе 180-метровой террасы р. Мужкана, представляется в следующем виде (снизу вверх, в м):

1. Бурые мелкозернистые пески 6,85
 2. Буровато-серые мелко-, крупнозернистые горизонтально-полосчатые с редкими втулками (до 0,7 м в поперечнике) 13,20
 3. Буровато-серые средне-, крупнозернистые пески 21,45
 4. Буровато-серые мелко-, среднезернистые горизонтально-полосчатые пески 10
 5. Буровато-серые крупнозернистые пески с гравием и галькой 11,10
 6. Буровато-серые мелко-, крупнозернистые пески с гравием и редкими втулками 9,5
 7. Буровато-серые разнозернистые горизонтально-полосчатые пески 20,26
 8. Буровато-серые средне-, крупнозернистые пески с гравием, галькой и мелкими (до 15 см) втулками 17,00
 9. Буровато-серые средне-, крупнозернистые пески с прослоями (0,2—0,8 м) песчано-галечного материала 119,36 м.
- Абсолютность нижнечетвертичных отложений по длине разрезу

Из описания разреза видно, что в составе аллювиальных отложений преобладают разнозернистые пески с редкими валунами, галькой и гравием. Бурая окраска отложений обусловлена повышенным содержанием гидроокислов железа.

Нижняя возрастная граница нижнечетвертичных отложений в районе не может быть определена, а верхняя видна, достаточно отчетливо. В разрезе 180-метровой террасы видно, что песчаные отложения перекрываются со следами размывания более грубозернистыми волнно-ледниковыми среднечетвертичными отложениями.

Спорово-пыльцевой спектр по результатам 6 проб из горизонтов 1, 2, 4, 7, 8, 9 представлен пыльцой хвойных, преимущественно пыльцой сосны и кедра в равных количествах (до 80%). Пыльца кедрового стланика составляет 9,2%, бересклета 3,6—33,7%, ольховника 1—14,6%, в меньшем количестве отмечается пыльца ивы, лиственницы и ели. Содержание пыльцы травянистых и кустарниковых, представленных преимущественно звересковыми, колеблется от 4,8 до 9,7%. В составе спор (5%) преобладают кочельниковые. Следовательно, в период накопления рассматриваемых отложений в районе господствовала темнохвойная тайга с примесью ели, берескеля, ольховника, ивы, а климат по сравнению с современным был более мягkim.

Среднечетвертичные отложения (Q_{II})

Среди этих образований по генетическому типу выделяются ледниковые, водно-ледниковые и проловиальные отложения.

Ледниковые отложения, перекрывающие нижнечетвертичные, установлены только в средней части Муйканской впадины, слагая гряды и холмы типичного моренного ландшафта. Здесь они представлены неотсортированным плохо окатанным материалом, состоящим из валунов (до 30%), гальки (10—30%), щебня (5—25%), супеси (до 50%) и суглинков (до 50%). Диаметр валунов колеблется от нескольких сантиметров до 1—2 м. Видимая мощность ледниковых отложений около 100 м.

Водно-ледниковые отложения пользуются ограниченным распространением и установлены только на левобережье Муйкана, где ими сложена пологоволнистая равнина, примыкающая к грядово-холмистому моренному ландшафту. Эти отложения со следами размыва перекрывают нижнечетвертичные аллювиальные образования. Слагая верхнюю часть 180-метровой террасы. В составе отложений преобладают серые плохо отсортированные разнозернистые пески с примесью гальки (до 20%), глыб и валунов (до 10%). Их видимая мощность — 60 м.

Проловиальные отложения, развитые в толье подножия северо-западного склона Муйканского хребта, представляют собой отдельные фрагменты древних конусов выноса, площадь которых от 2 до 8,5 км². Это плохо отсортированные неслоистые валунно-глыбовые отложения с песчано-суглинистым заполнителем и редкой примесью гальки и гравия. Данные отложения «прорезаются» конусами выноса верхнечетвертичного возраста и слагают по сравнению с последними гипсометрически более высокие уровни. Видимая мощность проловиальных отложений до 25 м. В спорово-пыльцевом спектре установлено лишь незначительное количество пыльцы бересклета, сосны и спор кочелыжников.

Верхнечетвертичные отложения (Q_{III})

Верхнечетвертичные отложения представлены ледниковыми, водно-ледниковыми, аллювиальными и проловиальными образованиями.

Ледниковые отложения распространены во впадинах (Муйканской, Ковоктинской) и троговых долинах крупных рек (Чуро, Верхн. Ангары, Ангаракана и других) в виде лонных, конечных и боковых морен. Они представлены неотсортированным плохо окатанным материалом, состоящим из валунов, щебня, гальки, дресвы, супеси и суглинков. Валуны в диаметре

достигают 4 м и более. Мощность ледниковых отложений, судя по гипсометрическим отметкам, составляет 50—80 м.

Водно-ледниковые отложения установлены в долине р. Ковокты, где слагают плоскую равнину, примыкающую к холмистому моренному рельефу. Здесь разрез описываемых отложений, вскрытый расчисткой в уступе I надпойменной террасы, представляется в следующем виде (снизу вверх, м):

1. Серые мелкозернистые песчано-глыбовые пески с галькой и гравием (до 10%).	0,25
2. Серые мелкозернистые горизонтальнослойные пески с гравием (до 5%).	0,25
3. Серые мелкозернистые косослоистые пески	0,15
4. Серые горизонтальнослойные суглинки	0,25
5. Буровато-серые мелкозернистые горизонтальнослойные пески с гравием (до 5%).	0,50
6. Буровато-серые среднесзернистые горизонтальнослойные пески с гравием (до 5%).	0,65
7. Серые горизонтальнослойные суглинки	0,45
8. Буровато-серые мелкозернистые пачконосные пески	0,40
9. Серые мелкозернистые пачконосные пески с галькой (до 25%).	1,80
10. Серые суглинки с гравийно-глыбочно-валунным материалом (до 20%). Размер валунов до 20 см	2,60
Видимая мощность водно-ледниковых отложений по данному разрезу 7,3 м.	

В 500 м к северу расчисткой вскрыт следующий разрез (снизу вверх, в м):

1. Серые мелкозернистые неслоистые пески с гравием и галькой (до 15%).	0,25
2. Темно-серые, буровато-серые суглинки с горизонтальной, слабо-волнистой слоистостью	2,40
3. Серые и ржаво-бурые среднесзернистые песчаные пески с магнитом (около 3%).	0,75
4. Серые среднесзернистые косослоистые пески с магнитом (1—2%).	0,15
5. Переставание серых суглинков с буровато-серыми мелкозернистыми песками. Слоистость косая, волнистая	0,85
6. Серые пачконосные суглинки	0,50
7. Серые пачконосные мелкозернистые пески с гравием и галькой (до 15%).	0,85
8. Серые, буровато-серые супеси с песком, гравием и галькой (до 15%).	1,0

Видимая мощность отложений по разрезу 6,75 м.

Аллювиальные отложения установлены в среднем течении р. Муйкана и в долине р. Верхн. Ангары. В последнем случае они вскрыты расчисткой в уступе 13-метровой террасы и имеют следующий разрез (снизу вверх, в м):

1. Серые и темно-бурые тонкосернистые пески с прослоями (1—5 см) бурых суглинков	7,35
2. Серые разнозернистые полимитовые пески с гравием и галькой (до 40%).	3,80
3. Бурые и серые суглинки	0,30
4. Желтовато-бурые суглинки	0,70
Мощность отложений по разрезу	12,15 м.

На левобережье р. Муякана разрез аллювиальных отложений представляется в следующем виде (снизу вверх, в м):

1. Песчано-галечный материал с валунами (до 20%). Размер валунов 15—40 см	4,5
2. Песчано-гравийно-галечный материал	5,0
3. Галечники с редкими мелкими валунами	8,5
4. Галечники с редкими мелкими валунами	1,4
Мощность аллювиальных отложений по данному разрезу составляет 19,4 м.	

Проливальные отложения выделены вдоль бортов межгорных владин и крупных речных долин. Здесь они слагают недеятельные конусы выноса и предгорные шлейфы, поверхность которых покрыта лесом. Представлены они грубым неотсортированным материалом, состоящим из плохо окатанных глыб, щебня, дрессвы и суглинков с включениями галечно-гравийного материала. К периферии конусов выноса в составе отложений возрастает роль суглинков и пылеватого материала, а доля и размер обломков и глыб уменьшаются. Данные образования «пререкаются» современными ручьями и перекрываются современными аллювиальными отложениями. Видимая мощность проливильных отложений 20—30 м.

Аллювиальные и проливальные отложения района, тесно связанные как с ледниками, так и водно-ледниковыми образованиями, являются фациями верхнечетвертичных осадков, нахождение которых происходило в период горно-долинного оледенения. В спорово-пыльцевом спектре этих отложений установлено пыльца травянистой (22,7—62%) и древесной (до 14%) расительности. Из пыльцы древесной расительности преобладает пыльца березы. В составе спор доминируют споры мхов, пыротников и плаунов. Все эти образования сопоставляются с зонами установления пыльцевыми отложениями Верхне-Ангарской владины, где в гравийном устремлении остатки мамонтовой фауны позднего плейстоцена (Н. В. Думитрашко, 1952 г.).

Современные отложения (Q_{IV})

Среди современных образований по генетическому признаку выделяются аллювиальные, проливальные и озерно-болотные отложения.

Аллювиальные отложения, слагающие современные русла рек и их пойменные террасы, представлены преимущественно галечно-валунным, реже песчаным материалом, который вскрыт на глубину до 5—13 м.

В долине р. Верх. Ангары песчаные отложения имеют следующий разрез (снизу вверх, в м):

1. Серые, буровато-серые пески	0,35
2. Серые суглинки с линзами (до 6 см) бурых среднезернистых песков	0,85

3. Серые и желтовато-бурые среднезернистые пески с прослоями (до 8 см) гравия и глинистого материала	1,20
4. Темно-серые и бурые суглинки с прослоями (до 25 см) песчано-гравийного материала	1,95
5. Суглинки гумусированные	0,20
Мощность аллювиальных отложений по разрезу 4,55 м.	

В долине р. Муякана, в 9 км западнее восточной рамки листа О-49-XXXVI, разрез аллювиальных отложений, по данным буровых работ изыскательской партии Слобигпротранса [28], имеет следующий вид (снизу вверх, в м):

1. Суглинки легкие	2,0
2. Пески среднезернистые	6,30
3. Пески мелкозернистые	3,70
Мощность аллювиальных отложений по разрезу 12 м.	
4. Светло-серые среднезернистые пески с галькой (до 10%) и гравием (до 30%)	2,70
5. Светло-серые мелкозернистые пески с гравием (до 20%), галькой (до 10%) и редкими валунами (размером до 15 см)	3,05
6. Суглинки гумусированные	0,30
Мощность отложений по разрезу 13,20 м.	
7. Светло-серые мелкозернистые пески с прослоями (до 10 см) крупнозернистых	4,75
8. Суглинки гумусированные	0,20
Мощность отложений по разрезу 13,20 м.	

Описанные аллювиальные образования хорошо отсортированы, окатанность обломочного материала II—III класса. Для отложений характерна косая, волнистая, горизонтальная и параллельная вогнуто-выпуклая слоистость, которая наблюдается неповсеместно.

Проливальные отложения установлены на небольших участках, преимущественно по юго-восточному склону Муяканской владины, и слагают современные конусы выноса, поверхность которых испещрена целой сетью русел временных водотоков. Они представлены неотсортированным плохо окатанным материалом, состоящим из глыб, валунов с примесью галечников, песков, щебня и гальки. Мощность отложений около 12 м.

Озерно-болотные отложения развиты в долинах рек Верхн. Ангары, Муякана и Ковокты на небольших (до 3 км²) участках. Они представлены плавами, суглинками, тонкозернистыми песками и торфянниками. По данным буровых работ треста Сибгипранса в долине р. Муякана, возле восточной рамки листа О-49-XXXVI торфянники, перекрытые тонкозернистыми песками, вскрыты на глубине 1,8 м и имеют мощность около 2 м. Торфянники здесь залягают на крупнозернистых песках, в кровле которых фиксируются криогенные нарушения, выраженные в пучении мерзлых грунтов.

Возраст современных отложений определяется по спорово-пыльцевому комплексу. В соседних районах — Баргузинской и других впадинах в синхронных отложениях установлены остатки орудий человека времени неолита и бронзового века [22].

ИНТРУЗИВНЫЕ ОБРАЗОВАНИЯ

Интузивные породы, слагая около 80% территории, играют главнейшую роль в геологическом строении района. Они представлены бирамынским, конкудеро-мамаканским комплексами кембрийского возраста и кадали-бутунским дайковым комплексом раннего (?) палеозоя.

Среди интузивных пород существенную роль играют граниты, что подчеркивается обширным гравитационным минимумом, в площаць которого входит рассматриваемый район.

КЕМБРИЙСКИЕ ИНТРУЗИИ

Бирамынский комплекс ($v\Theta br$)

Породы бирамынского комплекса, выделенные условно, установлены в виде одного ксенолита (16 км²) среди кембрийских гранитоидов в бассейне Чуро. В составе комплекса преобладают габбро и диориты, слагающие большую часть ксенолита. На контакте с гранитоидами они постепенно переходят в монцониты и реже в сиениты, которые, возможно, возникли в результате контактного воздействия гранитов.

Габбро и диориты встречаются совместно и связаны взаимными переходами. Это черные, темно-серые мелко- крупнозернистые массивные породы с габбровой и гиппоморфозернистой структурами. Габбро состоит из лабрадора (30—57%), моноклинного пироксена (5—27%) и амфибола (25—42%). Из второстепенных минералов развиты биотит, оливин, а из вторичных — карбонат, серцит, хлорит, тальк, цеолиты, иллингит и эпидот. Аксессорные — апатит, сфен, рудный минерал, реже шпинель и ортит.

Диориты отличаются от габбро тем, что в их составе плагиоклаз представлен андезином (40%), появляется микроклин (до 10%), увеличивается содержание биотита (25%) и уменьшается роль роговой обманки (до 18%) при одновременном исчезновении пироксена.

Монцониты состоят из плагиоклаза (30%), кальевого полевого шпата (35%), роговой обманки (3—20%), биотита (5—25%) и кварца (до 3%), а сиениты — из плагиоклаза (12—15%), кальевого полевого шпата (50%), роговой обманки, биотита (20—25%) и пироксена (10%).

В районе породы отнесены к бирамынскому комплексу условно, так как они только рвутся кембрийскими гранитоидами

конкудеро-мамаканского комплекса. За пределами района, в северной части Баргузинского хребта, интузии комплекса, в составе которых наблюдаются габбро-диабазы, секут фаунистически охарактеризованные отложения нижнего кембра [6, 14]. Однако Ю. М. Бажин [19], описываемые породы считает позднепротерозойскими.

Конкудеро-мамаканский комплекс

На площаць листа обнажается северо-восточная часть крупного гранитоидного батолита, именуемого Л. И. Салопом [14] Ангаро-Витимским ареал-плутоном. В пределах междуречья Амнунды и Муякана вскрыта наиболее глубинная часть батолита, представленная среднезернистыми однородными по структуре и составу массивными породами. В других местах картируется менее зернированная часть батолита, сложная внутренней структурой которой обусловлена многофазным формированием, мелкими ксенолитами метаморфических пород и фациальным разнообразием гранитоидов.*

Становление батолита происходило в три фазы. Гранитоиды фаз, имея между собой резкие интузивные контакты, различаются по составу, структуре и характеру распределения темноцветных компонентов.

Первая фаза (γ — $v\Theta Ehn$)

Породы этой фазы развиты преимущественно в бассейнах Верх. Ангары, Ковокты и на правобережье Муякана, слагая несколько ксенолитов среди гранитоидов второй и третьей фаз.

По внешнему облику это светло-серые, серые, розово-серые среднезернистые, местами порфировидные породы массивной текстуры, содержащие от 10 до 35% цветных минералов. Под микроскопом в зависимости от соотношения главных минералов данные породы разделяются на кварцевые монцониты, кварцевые сиениты, кварцевые диориты, гранодиориты, сиениты и монцониты. Все эти разновидности наблюдаются совместно и связаны между собой постепенными переходами, наиболее распространены из них первые три.

Кварцевые монцониты, кварцевые сиениты и кварцевые диориты — это розовато-серые, а гранодиориты, сиениты и монцониты — серые местами порфировидные массивные породы с гиппоморфозернистой и монцонитовой структурами. Кварцевые монцониты состоят из плагиоклаза (40—60%), кальевого

* Определения гранитоидов даны по классификации И. В. Глинбурга [4], причем породы полей 2 и 3 треугольной диаграммы, именуемые им гранитами, нами не разделяются на «нормальные» и «существенно-калиево-полевошпатовые» граниты.

полевого шпата (25—30%), кварца (5—18%), роговой обманки (до 12%) и биотита (до 3%). Вторичные минералы представлены эпидотом, эпидот-клиноzoизитом, серицитом и хлоритом, а аксессорные — сфеном, рудным минералом, апатитом и ортитом. При переходе от кварцевых монцонитов в кварцевые сиениты увеличивается количество калиевого полевого шпата и уменьшается содержание и основность плагиоклаза. В кварцевых диоритах в отличие от кварцевых монцонитов уменьшается количество калиевого полевого шпата и соответственно возрастает роль плагиоклаза.

Гранодиориты состоят преимущественно из плагиоклаза (47—59%), калиевого полевого шпата (10—25%), кварца (до 27%), а также роговой обманки и биотита (10—25%). При возрастании роли темновальных компонентов (до 30—35%), калиевого полевого шпата и соответственном уменьшении содержания плагиоклаза и кварца гранодиориты переходят в сиениты. Монцониты отличаются от сиенитов почти равным содержанием плагиоклаза и калиевого полевого шпата или некоторым преобразованием последнего над первым.

Петрохимическая характеристика гранитоидов первой фазы Конкудеро-Мамаканского комплекса приведена в табл. 3 и 4.

Вторая фаза ($\gamma_2 \text{Ekm}$)

Гранитоиды этой фазы в пределах рассматриваемого района являются самыми распространеными породами. Здесь ими сложена северо-восточная центральная часть гранитоидного батолита, выходящего далеко за пределы листа О-49-ХХХVI, внутри которого находятся ксенолиты более древних пород и штоки гранитоидов третьей фазы.

По внешнему облику это светло-серые, розовато-серые, серые мелко- и среднезернистые, изредка порфировидные лейкократовые породы массивной или гнейсовидной текстуры. Под микроскопом они разделяются на граниты, гранодиориты, тоналиты, кварцевые: монцониты, сиениты и диориты. Из них наиболее широко развиты граниты, а все прочие, хотя и наблюдаются повсеместно, резко им подчинены и являются, очевидно, гибридными образованиями.

Граниты — это светло-серые, розовато-серые породы с глинистоморфозернистой структурой, состоящие из плагиоклаза (26—50%), калиевого полевого шпата (20—40%), кварца (20—37%) и биотита (до 7%). Из вторичных минералов развиты эпидот, мусковит, серицит, хлорит, а из аксессорных — сфен, апатит, рудный минерал, ортит, циркон и редко гранат. При увеличении содержания калиевого полевого шпата (до 40—54%) и уменьшении доли плагиоклаза (до 18—27%) нормальные граниты переходят в калиево-полевошпатовые.

Таблица 3

ХИМИЧЕСКИЙ СОСТАВ ГРАНИТОИДОВ ПЕРВОЙ ФАЗЫ КОНКУДЕРО-МАМАКАНСКОГО КОМПЛЕКСА, ВЕС. %

№ проб	SiO_2	TiO_2	Al_2O_3	Fe_2O_3	FeO	MnO	MgO	CaO	Na_2O	K_2O	P_2O_5	H_2O	П.п.п.	Сумма
1406	66,60	0,39	15,91	1,95	1,67	0,08	1,14	3,17	5,00	4,00	0,09	0,23	0,12	100,35
2358 ^a	66,54	0,81	16,11	1,82	1,68	0,09	0,72	3,25	5,47	3,00	0,10	—	0,21	99,80
2479	65,82	0,39	16,38	1,78	1,82	0,06	1,32	3,17	4,80	4,29	0,06	—	0,07	99,96

ЧИСЛОВЫЕ ХАРАКТЕРИСТИКИ ПО А. Н. ЗАВАРИЦКОМУ

№ проб	a	c	b	s	f'	m'	c'	n	$\frac{a}{c}$	Q
1406	16,5	2,2	6,7	74,6	48,4	28,2	23,4	65,5	7,4	+13,9
2358 ^a	16,2	2,5	5,7	75,3	55,6	21,0	23,4	73,4	6,3	+15,9
2479	16,5	2,5	6,7	74,3	48,4	32,8	18,8	62,9	6,5	+12,6

1406 — кварцевый сиенит, р. Оран; 2358^a — кварцевый монцонит, верховье р. Лев. Мамакана; 2479 — кварцевый сиенит, левобережье р. Ковокты.

Гранодиориты, тоналиты, кварцевые диориты, кварцевые сиениты и кварцевые монцониты — это серые, светло-серые породы гипидиоморфно-зернистой структуры, различающиеся ваницидами в содержании главных породообразующих минералов. Гранодиориты, состоящие из плагиоклаза (47—59%), калиевого полевого шата (12—15%), кварца (24—28%) и биотита (5—6%), при уменьшении количества кварца (до 15%) переходят в кварцевые диориты, а при уменьшении содержания калиевого полевого шата (до 3—5%) и некотором увеличении роли плагиоклаза (62—63%) — в тоналиты. В кварцевых сиенитах главные породообразующие минералы — калиевый полевой шпат (47%), альбит-олигоклаз (25%), кварц (15%) и биотит, а акцессорные — апатит, циркон, ортит и рудный минерал. Из вторичных минералов развиты серицит, мусковит.

Среди гранитоидов по текстурным признакам выделяются массивные и гнейсовые. Гнейсовые породы, развитые вдоль разломов (бассейн р. Верх. Ангары) и вблизи остатков кровли, характеризуются мелкозернистым сложением, а массивные подразделяются на три фации: мелкозернистую, среднезернистую и порфировидную. Мелкозернистые гранитоиды установлены в бассейнах Верх. Ангары и Ковокты. Порфировидные гранитоиды, развитые в виде небольших полей в бассейне Чура и на левобережье Муйканы, отличаются от равномернозернистых разностей только наличием крупных (1—3 см по длиной оси) выплесченных калиевого полевого шата. Среднезернистые гранитоиды, которые являются наиболее распространенными по сравнению с другими магматическими образованиями, слагают весьма крупные поля в пределах Северо-Муйского, Муйканского и Делюн-Уранского хребтов.

Петрохимическая характеристика гранитоидов второй фазы приведена в табл. 4.

Третья фаза ($\psi_{\text{Экт}}$)

Гранитоиды этой фазы слагают несколько штоков в бассейне р. Верхн. Ангары и на левобережье Муйканы. Выходы штоков имеют площадь от 1 до 25 км². Контакты их с вмещающими породами двух предыдущих фаз интрузивные или тектонические. Все массивы характеризуются простым внутренним строением: в их составе резко преобладают однообразные гранитоиды, которые являются наибольше распространенными по сравнению с другими магматическими образованиями, слагают весьма крупные поля в пределах Северо-Муйского, Муйканского и Делюн-Уранского хребтов.

Граниты — это светло-серые, мелко- и среднезернистые лейкократовые массивные породы с гипидиоморфно-зернистой структурой. Граниты имеют следующий минеральный состав: плагиоклаз (20—35%), калиевый полевой шпат (40—52%), кварц (20—35%) и биотит (3%).

Таблица 4
ХИМИЧЕСКИЙ СОСТАВ ГРАНИТОИДОВ ВТОРОЙ ФАЗЫ КОНКУДЕРО-МАМАКАНСКОГО КОМПЛЕКСА, ВЕС. %

№ проб	SiO ₂	TiO ₂	Al ₂ O ₃	Fe ₂ O ₃	FeO	MnO	MgO	CaO	Na ₂ O	K ₂ O	P ₂ O ₅	H ₂ O	П.п.п.	Сумма	
														<i>a</i>	<i>c</i>
1227	74,60	0,24	13,34	0,81	0,72	0,04	0,16	1,00	3,95	4,65	0,03	0,18	—	99,72	99,55
2289	74,44	0,13	13,65	0,48	0,87	0,04	0,24	0,89	3,95	4,45	0,01	0,40	—	100,45	100,45
3254 ^б	71,00	0,62	14,75	1,34	1,04	0,02	0,48	1,46	3,95	5,20	0,13	0,46	—	99,99	99,99
5129	67,34	0,74	13,07	1,84	2,61	—	1,98	4,95	2,62	1,45	0,05	0,04	3,30	—	—

ЧИСЛОВЫЕ ХАРАКТЕРИСТИКИ ПО А. Н. ЗАВАРИЦКОМУ

№ проб	<i>a</i>	<i>c</i>	<i>b</i>	<i>s</i>	<i>a'</i>	<i>f'</i>	<i>m'</i>	<i>e'</i>	<i>n</i>	<i>Q</i>	
										<i>a</i>	<i>c</i>
1227	14,9	1,2	1,6	82,3	—	83,7	16,0	0,3	56,3	12,7	33,4
2289	14,6	1,0	2,6	81,8	36,4	48,2	15,4	—	57,4	13,9	33,2
3254 ^б	15,8	1,7	2,9	79,6	—	72,1	27,2	0,7	53,5	9,2	25,4
5129 ^б	8,0	4,9	8,7	78,4	—	47,1	38,9	14,0	73,3	1,6	35,8

1227 — гранит, правобережье р. Амнуиды; 2289 — гранит, левобережье р. Мун; 3254^б — гранит, левобережье р. Джад-тукты; 5129^б — тоналит, левобережье нижнего течения р. Ангаракана.

Вторичные минералы в гранитах представлены мусковитом, серцитом, эпилотом, хлоритом, а акцессорные — сфеном, апатитом, орбитом, рудным минералом и реже гранатом.

Жильные производные, генетически связанные с гранитоидами всех фаз конкудеро-мамаканского комплекса, представлены аплитами и пегматитами. Мощность тел колеблется от небольших аплитовых разностей — первые десятки метров, протяженность — самое различное. Форма жил неправильная, с многочисленными апоптизами. По внешнему облику и петрографическому составу жильные производные разных фаз не различаются.

Аплиты ($\text{з}\mathcal{E}\text{км}$) — это светло-серые, розовато-серые породы с аплитовой и аллотриоморфнозернистой структурой. Минеральный состав их следующий: плагиоклаз (53—57%), кварц (15—32%) и микроклин (14—15%). Вторичные минералы представлены эпилотом, хлоритом и серцитом. Из акцессорных отмечается только рудный минерал.

Пегматиты ($\text{рз}\mathcal{E}\text{км}$), представленные ортотектитовыми разностями, образуют, кроме прожилков и жил, гнездообразные (до 6—7 м) тела. Они состоят из микроклина, кварца, реже биотита. Аксессорные минералы представлены орбитом, магнетитом, гранатом, сфеном, торитом, циртолитом и тантало-ниобиевыми минералами. Строение пегматитов блоковое, реже зональное, структура графическая.

В результате kontaktового метаморфизма гранитоидов конкудеро-мамаканского комплекса вмещающие породы превращены в различные по составу кристаллические сланцы, гнейсы (иногда с силиманитом, кордиеритом, гранатом, скаполитом), кварциты и амфиболиты. Болези контакта с гранитоидами сланцы и гнейсы за счет инъекции магматического материала превращены в мигматиты. Kontaktовые изменения в карбонатных породах выразились только лишь в их перекристаллизации.

Скарнированные породы, которые наблюдаются редко (левобережье р. Ангаракана, правобережье р. Муйгана), сложены биотитом, гранатом, диопсидом, скаполитом, а также кальциевым гнейсом. Скарнированные породы, которые наблюдается реже (левобережье р. Ангаракана, правобережье р. Муйгана), сложены биотитом, эпилотом, tremолитом, реже актинолитом. Мощность скарнированных пород не превышает 10—25 см, протяженность до 10 м.

В бассейнах Верх. Ангары, Амунды, Орана и Ангаракана гранитоиды первой фазы совместно с жильными производными прорвутся породами второй фазы конкудеро-мамаканского комплекса. Взаимоотношения гранитоидов, а также даек аплитов и пегматитов двух первых фаз комплекса с породами третьей установлена в бассейне Верх. Ангары, где они широко распространены.

* Маломощные (до 0,5 м) прожилки аплитов и пегматитов, развитые очень широко, на геологическую карту не вынесены.

В районе относительное возрастное положение гранитоидов конкудеро-мамаканского комплекса определяется тем, что они прорывают метаморфические породы муйской серии нижнего протерозоя и интрузивные породы условно бирамбинского комплекса, а сами в свою очередь рвутся дайковыми образованиями раннего палеозоя. Кроме того, гранитоиды комплекса образуют единое поле с кембрийскими интрузивными породами, развитыми западнее и севернее описываемого района. Здесь, по данным Ю. М. Бажина [18], Л. В. Ревякина [30], Б. П. Кудинова [25] и других, гранитоиды оказывают активное kontaktовое воздействие на породы нижнего и среднего кембра. В тоже время, по мнению указанных исследователей, ими к конкудеро-мамаканскому комплексу (судя по определением абсолютного возраста гранитоидов) условно отнесены, возможно, и более древние (верхнепротерозойские) интрузивные породы, взаимоотношения которых с кембрийскими отложениями доказаны не установлены.

О разновозрастности интрузивных пород могут, очевидно, свидетельствовать рвущие контакты между гранитоидами (и их жильными производными) отдельных фаз, описанных в составе конкудеро-мамаканского комплекса. Породы конкудеро-мамаканского комплекса, по данным многих исследователей [18, 21, 26], нигде не установлены в обломочном материале базальных континентальных нижнего кембра. Возраст гранитоидов принят на том основании, что они расположены в пределах протерозойского подвижного пояса, геосинклинальное развитие которого завершилось в кембре.

Абсолютный возраст гранитоидов конкудеро-мамаканского комплекса, определенный по калий-argonовому методу, приведен в табл. 5.

РЕЗУЛЬТАТЫ ОПРЕДЕЛЕНИЯ АБСОЛЮТНОГО ВОЗРАСТА ИНТРУЗИВНЫХ ПОРОД КОНКУДЕРО-МАМАКАНСКОГО КОМПЛЕКСА

Таблица 5

Место взятия пробы	Название породы и фаза	Абсо-лютический возраст, лет		$\frac{\Lambda_{\text{п}}}{\Lambda_{\text{вн}}}$		Абсо-лютический возраст, лет
		Млн.	Гг	Гг	%	
Правобережье р. Ковокты (проба 5054)	Порфириовидный биотитовый гранит второй фазы	217	2,27	35,4	0,0128	51,0
Левобережье р. Джалапкты (проба 3254 ^a)	Среднесернистый биотитовый гранит второй фазы	228	3,97	35,7 60,4	0,0129 0,0135	63,8 29,1
Правобережье р. Ковокты (проба 5212)	Мелкозернистый биотитовый гранит второй фазы	230	65,0	0,0137	33,6	25,5
		223	38,7	0,0132		
		230	2,41	40,2	0,0137	43,8

Из табл. 5 видно, что по абсолютному возрасту граниты второй фазы (217–230 млн. лет) соответствуют триасу. Омоложение возраста гранитов обусловлено более поздними тектоническими движениями и связано с утечкой из пород аргона при поднятии крупных блоков земной коры [12].

Здесь необходимо также отметить, что по мнению других исследователей [5, 14], гранитоиды (в том числе и в других районах Бурятии) относятся к позднепротерозойским образованиям, так как по их данным сходные породы наблюдаются в обломочном материале базальных слоев кембрия. Эти факты в ряде мест не подтвердились новыми данными, полученными в последние годы в результате более детальных геологических и тематических работ.

Описанные гранитоиды, слагающие Ангаро-Витимский батолит сходны с гранитоидами, прорывающими фаунистически охарактеризованные отложения раннего кембрия в бассейнах рек Уакита, Бамбуйки, Курбы, Ямбуя и в верховье р. Чины (пос. Троицкий). Причем гранитоиды конкудеро-мамаканского комплекса резко отличаются от гранитоидов из гальки базальных горизонтов раннего кембрия.

К этому же выводу на основании детального петрографического, петро- и геохимического изучения гранитной гальки из контломератов раннего кембрия пришли Б. А. Литвиновский и А. Н. Завилевич (1972 г.), которые специально занимались вопросами магматизма Витимского плоскогорья и сопредельных районов. По их данным, гранитоиды из гальки почти всегда представлены измененными плагиогранитами, существенно плагиоклавовыми гранитами, индистичными, скопрее всего, породам мулского комплекса раннего протерозоя. И. Ф. Зотова и другие (1974 г.), специально занимавшиеся вопросами магматизма, на основе интерпретации геофизических данных выделяют как верхнепротерозойские, так и кембрийские гранитоиды. Два разновозрастных комплекса гранитоидов выделяют также Л. А. Козубова и др. (1974 г.), основываясь на геологическом и петрологическом изучении.

Изложенный материал свидетельствует о том, что вопрос о возрасте гранитоидов изучен недостаточно и является дискуссионным. Предлагаемый возраст гранитоидов конкудеро-мамаканского комплекса следует рассматривать как один из наиболее вероятных вариантов.

РАННЕПАЛЕОЗОЙСКИЕ (?) ИНТРУЗИИ

Калали-буруунский дайковый комплекс ($\delta\text{PZ}_1?kb$)

К данной группе пород отнесены единичные жильные тела основных и основных щелочных пород меланократового облика. Они размещаются вблизи разрывных структур и представлены диоритовыми порфиритами, микродиоритами, спессартитами,

анамезитами, андезито-базальтами и эсекситами. Мощность даек колеблется от 0,5 до 3 м, протяженность — не превышает первых десятков метров. Простижение даек самое различное, падение — вертикальное или близкое к этому.

Диоритовые порфиры ($\delta\text{PZ}_1?kb$) представляют собой темно-серые, зеленовато-черные массивные порфировые породы с микродиоритовой основной массой. Они состоят из плагиоклаза (70%), кварца (10–14%), биотита (до 5%) и микроклина (до 14%). Порфировые выделения представлены плагиоклазом. Из вторичных минералов развиты хлорит, эпидот, мусcovит, селенит, пеллит, а из акцессорных — сфеин, апатит, ортит и рудный минерал.

Спессартиты ($\delta\text{PZ}_1?kb$) — серые, темно-серые, массивные мелкозернистые (0,1–0,3 мм) породы с микропризматической структурой. Они состоят из плагиоклаза (60%), биотита (17%), роговой обманки (3%), кварца (5%), микроклина (2%) и вторичных минералов, представленных хлоритом, мусковитом, селенитом и эпидотом. Аксессорные минералы — сфеин, апатит, рудный минерал и ортит.

Анамезиты ($\beta\text{PZ}_1?kb$) — зеленовато-черные массивные порфировые породы с микролерритовой структурой основной массы. «Вкрашенники» представлены авгитом. Главные породообразующие минералы — плагиоклаз (52%), авгит (35–37%), вторичные — хлорит, карбонат, серицит, акцессорные — рудный минерал.

Андеозито-базальты ($\alpha\beta\text{PZ}_1?kb$) — черные массивные, плотные порфировые породы с призматической зернистой основной массой. Фенокристаллы представлены плагиоклазом, пироксеном и оливином. Основная масса состоит из андезина № 45 (43%), титан-авгита, диопсида (20%), оливина (20%) и биотита (15%). Из вторичных минералов присутствуют карбонат, мусковит, гидроокислы железа, а из акцессорных — апатит и рудный минерал, селенит.

Эсекситы ($\kappa\beta\text{PZ}_1?kb$) представляют собой черные массивные породы с пойкилитовой или гипидроморфно-зернистой структурой. Они состоят из титан-авгита (30%), микроклина (20%), плагиоклаза (10%), баркевикита (13%), этирин-авгита (10%), нефелина (10%) и оливина (5%). Из вторичных минералов разбиты канкринит, томсонит, цеолиты, альбит, биотит, карбонаты, содалит и хлорит-серпентин, а из акцессорных — апатит, рудный минерал и сфеин.

Возраст рассматриваемой группы пород определяется тем, что они рвут кембрийские гранитоиды конкульско-мамаканского комплекса. Верхняя возрастная граница комплекса в пределах рассматриваемого района не может быть определена, а поэтому эти породы отнесены к раннему палеозою установно. Отнесение к данному комплексу эсекститов, андезито-базальтов и анамезитов не может быть беспорочным, так как аналогичные породы в более южных районах Бурятии связываются с покровами базальтов кайнозойского возраста и относятся к трахибазальтовой формации [2].

ТЕКТОНИКА

Рассматриваемый район, расположенный в юго-восточной части Северо-Байкальского нагорья, относится к протерозойскому подвижному поясу, геосинклинальное развитие которого по современным представлениям завершилось в кембрии [14]. Нижнепалеозойские осадки в пределах района не установлены, но зато широко развиты интрузии, связанные с кембрийским тектоно-магматическим циклом, приведшим к образованию консолидированной области. В кайнозое район под влиянием процессов аркогенеза подвергся омоложению, в результате чего была создана система впадин и хребтов (рис. 3). В районе наблюдаются два структурных яруса (нижнепротерозойский, кайнозойский) и три интрузивных комплекса раннего палеозоя (Бирамынинский, Конкульско-мамаканский и кадали-бутуинский).

Нижнепротерозойский структурный ярус

Этот ярус, включающий метаморфические породы Верхней подсерии Муйской серии, занимает незначительную площадь на правобережьях Ковокты и Муйканы. Здесь он образует соответственно Ковоктинскую синклиналь и Муйканскую антиклиналь, которые сохранились в виде отдельных фрагментов — ксенолитов среди гранитоидов.

Ковоктинская синклиналь расположена на правобережье одноименной реки, в ее нижнем течении. Здесь она сохранилась в относительно опущенном блоке, ограниченном северо-восточными (Амнуундинским, Ангараканским) и северо-западным (Пере-

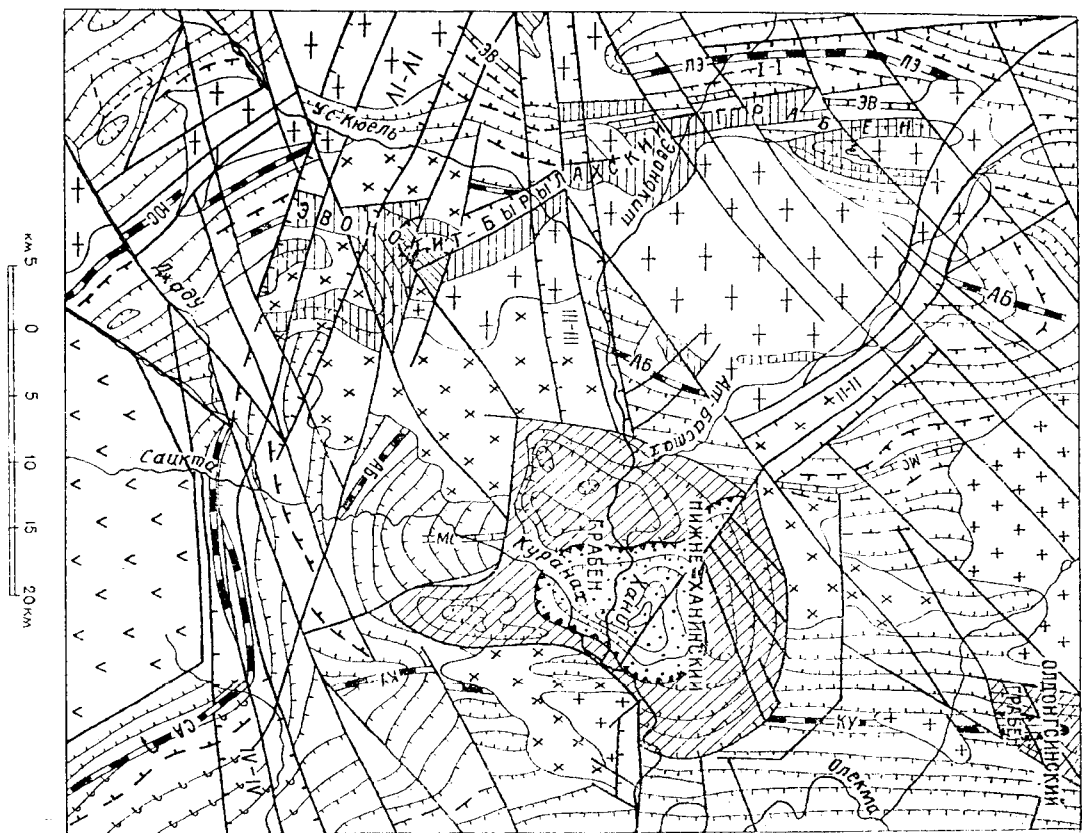


Рис. 3. Тектоническая схема района. Структурные ярусы (1-2): 1 — кайнозойский, четвертичные отложения; видимые на рисунке долины; 2 — нижнепротерозойский, верхняя подсерия муйской серии; 3 — нижне-антарктическая серия.

вальным) разломами. Структура со всех сторон нарушена интрузиями и осложнена разломами. Описываемая синклиналь представляет собой симметричную структуру, осложненную складками более высокого порядка. Общее простирание пород на крыльях северо-восточное ($35-40^\circ$), углы падения крыльев колеблются от 60 до 80° . Ширина складки около 4 км, длина достигает 11 км. Шарнир синклинали погружается на северо-восток под углом 20° , и вследствие этого на юго-западном продолжении структуры наблюдается ее замыкание.

Муйканская антиклиналь, расположенная на водоразделе Муи и Муйкана, сложена, как и предыдущая структура, породами верхней подсерии муйской серии. Целостность этой структуры нарушена разломами и интрузиями. Антиклиналь представляет собой асимметричную, наклоненную на северо-запад структуру, в которой намечается ряд внутренних синклиналей и антиклиналей более высокого порядка. Простирание пород на крыльях изменяется от 25 до 80° .

Падение пород на северо-западном крыле колеблется от 70 до 80° , а на юго-восточном — от 10 до 30° .

Кайназойский* структурный ярус

Этот ярус, залегающий горизонтально, представлен четвертичными отложениями, развитыми в пределах межгорных впадин (Муйканской, Ковоктинской, Верхне-Муйской) и долин крупных рек. Эти впадины и крупные долины представляют собой сравнительно узкие, протяженные и относительно глубокие тектонические рвы в древнем кристаллическом фундаменте, которые обуславливают резкую своеобразную контрастность внешних структурных форм. Впадины на глубину не изучены.

Муйанская впадина, являющаяся ответвлением юго-западной части Площади листа О-49-XXXVI до восточной на расстоянии более 60 км и уходит далеко за пределы рассматриваемого района. Ширина впадины колеблется от 3 до 8 км. Строение впадины асимметричное. Ее юго-восточный склон, ограниченный крупным Муйканским разломом, возвышается над поверхностью впадины крутым уступом, высота которого достигает $1000-1200$ м. Северо-западный борт впадины имеет совершенно другой характер. Здесь со стороны Северо-Муйского хребта кристаллическое основание погружается под осадки впадины более плавно, чем со стороны Муйканского хребта. Поэтому здесь рыхлые отложения «захолят» в пределы Северо-Муйского хребта отдельными «заливами» неправильной формы. Владина буровыми и наземными геофизическими работами не изучалась, поэтому судить о ее внутреннем строении довольно

ногрудно. Исходя из общих гравиметрических, аэромагнитных данных и структурных особенностей геологических границ впадины, можно предложить, что мощность четвертичных отложений во впадине не менее 250 м.

Ковоктинская впадина, охватывающая бассейн верхнего течения одноименной реки, расположена в пределах Северо-Муйского хребта и отделена от Муйканской впадины горной перегородкой. Ковоктинская впадина выполнена четвертичными отложениями и имеет симметричное строение. Образование впадины тесно связано с опусканием кристаллических пород в зоне Ангаракской разрывной структуры северо-восточного простирания. Длина впадины около 20 км, максимальная ширина $7,5$ км. На глубину впадина не изучалась. Исходя из общих геологических данных, можно предположить, что мощность четвертичных отложений во впадине около 50 м.

Верхне-Муйская впадина на рассматриваемой территории представлена только своим северо-восточным окончанием Длиной около 3 км при ширине до 1 км. За пределами листа О-49-XXXVI в юго-западном направлении Верхне-Муйская впадина прослеживается на расстоянии более 80 км при ширине до 15 км. Контуры впадины имеют в плане неправильную конфигурацию с многочисленными «заливами» рыхлых отложений вдоль обоих бортов. Внутри впадины отмечаются выступы кристаллического фундамента в виде отдельных блоков, которые, по мнению Н. А. Флоренсова [34], отстали в опускании на фоне общего погружения. Внутренняя структура впадины ее глубина не изучались.

Разрывные нарушения

На территории выделяются три системы разрывных нарушений. Из них разломы северо-восточного простирания являются наиболее широко распространенными и крупными. Разломы северо-западного и субширотного простирания проявлены слабее, и их роль в структуре и морфологии района менее значительна. Определение возраста разломов и амплитуды перемещения по ним затруднено тем, что большая их часть проходит по однородным интрузивным породам и неоднократно пополнялась в последующее геологическое время. Причем параллельно с активизацией более древних нарушений возникали параллельно и новые более молодые. В настоящее время район представляет собой целую систему тектонических блоков. Ниже приводится описание главнейших зон нарушений.

Амундинский разлом прослеживается в северо-восточном направлении от бассейна Ковокты до верховьев одноименной реки на расстоянии более 65 км. Он имеет очень сложное строение и состоит из нескольких близких разрывных структур и сопряженных с ним более мелких разломов. На северо-востоке,

* Неогеновые отложения не установлены.

в верховье р. Амнунды, и в своей центральной части разлом расщепляется на несколько нарушений, ослабленные зоны которых впоследствии были использованы крупным правым притоком р. Ангаракана, в пределах которого основная часть этого нарушения скрыта под четвертичными отложениями.

Северо-восточная и центральная части разлома картируются по сильно катаклизированным и эпилитизированным породам с зеркалами скольжения. Юго-западнее, на правобережье р. Ангаракана, в зоне разлома наблюдаются сильно мионитизированные гранитоиды. В бассейне р. Ковокты, где фиксируется юго-восточное окончание этого разлома, динамометаморфизованные породы представлены брекчиями с густой сетью «прожилков» (от 1 мм до 7–10 см) псевдотахилитов. Мощность зоны катаклизированных пород около 1000 м. Этот разлом, большая часть которого выражена в рельфе участками современных долин рек, имеет в плане слабоволнистую линию; плоскость его сместителя падает на северо-запад под углом, близким к вертикальному.

Амнундинский разлом четко выражен в структуре магнитного поля резкой, прямолинейной границей, обусловленной сменой положительных и отрицательных значений ΔT , а также линейной формой изолиний и выпуклостью контуров локальных повышений ΔT . Оперяющие структуры этого разлома фиксируются разворотом осей локальных аномалий.

Ангараканский разлом прослеживается от верховьев Ковокты до верховьев Амнунды в северо-восточном направлении (на расстоянии около 60 км), проходя вдоль бортов одноименной реки. На северо-востоке разлом под острым углом соединяется с Амнундинским нарушением, а на юго-западе перекрывается рыхлыми отложениями кайнозоя Ковоктинской впадины. Этот разлом, хорошо дешифрируемый на аэрофотоснимках, состоит из серии субпараллельных сближенных нарушений и сопряженных с ними более мелких дизъюнктивов.

Описываемая разрывная структура картируется по сильно катаклизированным, обожренным породам, которые сопровождаются процессами окварцевания, эпидотизации и зеркалами скольжения. Максимальная мощность зоны деформированных пород около 800 м. Падение плоскости сместителя, судя по элементам залегания трещиноватости в гранитоидах, юго-восточное, круглое. Ангараканский разлом, так же как и описанный выше Амнундинский, отчетливо выражен в структуре магнитного поля.

Верхне-Ангарский разлом, сопровождаемый оперяющими структурами субширотного простирания, прослеживается в северо-восточном направлении на расстоянии 50 км вдоль бортов одноименной реки. Описываемое нарушение постепенно затухает на северо-востоке (водораздел Верх. Ангары и Лев. Мамакана), а в юго-западном направлении перекрывается четвертич-

ными отложениями долины р. Верх. Ангары. В сфере влияния разлома возле западной рамки листа О-49-ХХХVI расположены горячий источник («Новый»), воды которого, по расчетам С. В. Лысака [8], формируются на глубине около 1600 м. Разлом устанавливается по зоне интенсивно трешиноватых, катаклизированных и мионитизированных пород, сопровождающихся эпилитизацией и зеркалами скольжения.

С данным разломом связаны новейшие тектонические нарушения. Они хорошо выражены вдоль бортов долины р. Верх. Ангары уступами (до 15 м), которые обуславливают наличие водопадов в приустьевой части боковых притоков этой реки. Мощность полосы деформированных пород изменяется от 0,5 до 1,4 км. Плоскость сместителя этого разлома, имеющая в плане слегка волнистую извилистую линию, круто падает на северо-запад.

В пределах оперяющих структур Верхне-Ангарского разлома (почти на всем его протяжении) и отчасти Амнундинского нарушения гранитоиды характеризуются сланицеватой текстурой с падением на северо-запад под углами 30–75°.

По данным магнитной съемки, разлом траксируется пологим линейно-вытянутым преимущественно спокойным полем, а оперяющие его структуры — линейной формой изолиний ΔT .

Выраженность разлома в рельфе, приуоченность к нему источника горячих вод, невыработанный продольный профиль ручьев, дренирующих склоны долины р. Верхн. Ангары — все это свидетельствует о молодом возрасте и глубинности этого нарушения. О формировании разлома в более древнее время определенных данных нет.

Чурокский разлом протягивается в северо-восточном направлении вдоль долины одноименной реки и фиксируется спокойным положительным магнитным полем. Он состоит из нескольких сближенных параллельных нарушений и сопряженных с ними оперяющих структур различной ориентировки. Блоковые движения по разломам северо-восточного направления разбили бортовые части долины на несколько ступеней, характеризующихся выпуклым и слабо расщлененным рельефом. Блоковое строение склонов обусловило образование водопадов в боковых притоках р. Чуро. Разлом картируется по сильно трешиноватым, катаклизированным гранитам, которые интенсивно эпилитизированы и сопровождаются зеркалами скольжения. Мощность катаклизированных пород отдельных дизъюнктивов колеблется от 10–30 до 250 м. Плоскость сместителя Чурокского разлома круто (80–85°) падает на юго-запад.

В гранитоидах, развитых в бассейнах Верх. Ангары и Чуро, наблюдаются ярко выраженные протяженные (50–150 м)

вертикальные тектонические трещины, придающие породам характерную плитообразную отдельность. Мощность отдельных блоков колеблется от 20—25 см до 2—10 м. Указанная трещиноватость, имеющая ту же ориентировку, что и описанные выше разломы (Чурский, Верхне-Ангарский и Амундинский), тесно связана с разрывной тектоникой северо-восточного простирания.

Муяканский разлом прослеживается вдоль юго-восточного борта одноименной впадины на расстоянии более 50 км и выходит далеко за пределы района. Этот разлом, резко отделяющий Муяканский хребет от впадины, сопровождается на северо-востоке слабо выраженной гравитационной ступенью, а на юго-западе — разворотом изанома силы тяжести. В магнитном поле разлом не проявлен. К юго-востоку от разлома находится область интенсивного поднятия и денудации, а к северо-западу — область опускания, выполненная осадками кайнозоя.

Судя по градиенту изменения высот северо-западного склоня Муяканского хребта, по которому проходит разлом, амплитуда смещения блоков за кайнозойское время составляет не менее 1000—1500 м. Это нарушение картируется, начиная с северо-востока, по интенсивно катаклизированным породам, смещающимися к юго-западу зоной мильонитизации. Мощность деформированных пород изменяется от 100 м на северо-востоке до 800 м на юго-западе. Плоскость смещения падает на северо-запад под углом 70—80°. К рассматриваемому разлому приложенным с ним более мелким разрывам приурочен пилитовой ореол рассеяния висмутовых минералов, а также вкрашенность флюорита и повышенная радиоактивность.

Муйский разлом прослежен на расстоянии 13 км вдоль юго-восточной окраины Муяканского хребта и выходит за пределы района. Он отделяет Верхне-Муйскую впадину от Муяканского хребта и устанавливается по зоне катаклизированных пород мощностью до 100 м. В юго-западном направлении деформированные породы перекрыты четвертичными отложениями, в которых над разломом фиксируются седловины шириной 50—100 м.

Среди северо-западных и субширотных разломов наиболее значительными являются Перевальный и Северный разломы.

Перевальный разлом установлен в пределах Северо-Муйского хребта между Верхне-Ангарской и Муяканской разрывными структурами. Он пересекается разрывами северо-восточного направления и почти на всем протяжении перекрыт четвертичными отложениями. Наружение хорошо выражено в рельфе в виде сквозной тектонической долины, а по данным магнитной съемки фиксируется сменой спокойных магнитных полей возмущенными, граница между которыми несколько сдвинута к юго-западу относительно линии разлома. В зоне разлома граниты катаклизированы и эпилитизированы. На юго-востоке к разло-

му приурочены два источника горячих вод, формирующихся на глубинах около 1600 м [8].

Северный разлом протягивается в широтном направлении в верховых Чуро и Верх. Ангары, выходя за пределы района.

Данное нарушение является частью одного из глубинных внутреннеосинклинальных разломов, которые выделяются Л. И. Салопом [14] в пределах Байкальской горной области. Разлом хорошо выражен на фотоснимках тектоническими седловинами:

и устанавливается по зоне интенсивно катаклизированных и эпилитизированных пород конкудеро-мамаканского комплекса. Катаклизированные породы, видимо, первоначально были пропитованы, а затем в результате вторичных процессов в них появились гидроокислы железа, вследствие чего зона отчетливо картируется по ржаво-буровому цвету пород. Мощность деформированных пород колеблется от 400 до 700 м.

По данным гравиметровой съемки, рассматриваемый район расположен в пределах северо-восточной части Баргузинского минимума силы тяжести, обусловленного гранитоидами и прогибом земной коры [29]. Причем наименьшие значения силы тяжести приурочены к гранитоидам второй фазы конкудеро-мамаканского комплекса, слагающим наполовину часть батолита на междуречье Верх. Ангары — Ангаракана — Амунды — Муякана. На остальной части территории, опоясывающей первую с юга, запада и северо-запада, наблюдаются наибольшие значения силы тяжести. Здесь вскрывается менее эродированная часть батолита, представленная более мелкозернистыми, чем в первом случае, гранитоидами второй и третьей фаз конкудеро-мамаканского комплекса, среди которых фиксируются ксенолиты более древних метаморфических и интрузивных пород.

Магнитное поле рассматриваемой территории более дифференцированное, чем гравитационное и характеризуется положительными и отрицательными значениями ΔT . Особенно отчетливо контурами положительных значений ΔT (до 3400 гамм) выделяются габбророды бирюзинского комплекса, расположенные на левобережье р. Чуро. Отрицательные значения ΔT фиксируются над гранитоидами второй фазы конкудеро-мамаканского комплекса, слагающим преимущественно наполовину часть батолита на водоразделе Ангаракана — Муякана — Амунды и на правобережье верхнего течения Муякана. Над остальной частью территории, сложенной пестрыми по петрографическому составу породами различных фаз конкудеро-мамаканского комплекса и ксенолитами метаморфических пород, фиксируются преимущественно положительные значения ΔT (до 600 гамм).

Складчатые структуры характеризуются таким же магнитным полем, как и гранитоиды [36, 37] и не находят отражения на гравиметровой карте вследствие их незначительного распро-

странения на глубину в гранитный субстрат [29]. Из разрывных структур особенно хорошо выражены в магнитном поле Амнулинский и Алагараканский разломы и в меньшей степени другие. Мужканский разлом в магнитном поле не проявлен. Таким образом, магнитное поле района, в целом отвечающее гравитационному, находится в зависимости от состава пород, а также от тектонического положения и глубины формирования гранитоидов.

В истории геологического развития района, исходя из анализа геологических формаций и тектонических структур, фиксируются следующие этапы: раннепротерозойский, раннепалеозойский и кайнозойский.

В раннепротерозойский этап район, являясь частью мобильного пояса Байкальской геосинклинали [14, 16], испытывал прогибание, которое сопровождалось седиментацией терригенного и в небольших количествах карбонатного материала, наряду с незначительным излиянием лав. В результате последовавших затем тектонических движений были созданы складчатые структуры северо-восточного простирания. На месте прогиба, частью которого является описываемая территория, формируется Байкало-Витимское геантектическое поднятие [14].

О дальнейшей протерозойской истории геологического развития района судить довольно трудно, так как образования среднего и верхнего протерозоя на территории не установлены. Можно только предположить, что район являлся частью приподнятой области.

О раннепалеозойской истории геологического развития района можно судить также только предположительно, поскольку соответствующие отложения в районе не установлены, но зато широко развиты интрузивные породы раннепалеозойского тектоно-магматического цикла.

Затем прошло время, в течение которого в других впадинах формировались плоские

плато. В начале раннепалеозойского этапа развития, по данным Л. И. Салопа [14], территория северной части района входила в состав Байкало-Витимского поднятия, в области которого развились межгорные впадины, а южной — в состав Верхне-Витимской остаточной геосинклинали. На описываемой площади, так же как и в некоторых других районах Бурятии, осадки нижнего палеозоя не установлены. Здесь даже породы протерозоя, не говоря уже о толщах кембрия (если они отлагались), подверглись глубокой денудации, вскрывшей огромные поля кембрийских интрузивных тел. В наиболее ранний этап произошло внедрение габброидов бирмынского комплекса, а позднее, в период активизации тектонических движений, формируется в три фазы батолит конкудеро-мамаканского комплекса. Гранитный магматизм, вызвавший дальнейшую частичную разработку и поглощение докембрийских структур, привел к окончательной стабилизации района. Впоследствии гранитоиды батолита, будучи уже консолидированными, подверглись разрывной деформации. В заключительный этап близ разломов и их опирающихся структур произошло внедрение дайковых тел кадали-бутуинского комплекса. В последующее палеозойское время район входит в область преимущественно размыва.

Мезозойская эра характеризуется активизацией тектонических движений, с которыми связаны дифференцированные и неоднократные поднятия довольно крупных блоков Байкальской горной области, куда входит и район исследований [12].

В кайнозойский этап развития района, согласно исследованием Н. А. Флоренсова [16], был охвачен крупным Саяно-Байкальским (неоген-четвертичным) сводовым поднятием. В области свода с неотектоническими приразломными и надразломными структурами — впадин байкальского типа, три из которых — Мужканская, Ковоктинская и частично Верхне-Муйская представлены на территории рассматриваемого района. Все они выполнены четвертичной молассоидной формацией, характерной для рифтогенного (байкальского) этапа. Судя по доорогенному этапе, в течение которого в других впадинах формировались плоские добайкальские прогибы с накоплением в них неогеновых осадков, на территории листа определенных данных нет. Разломы, которые, по выражению Н. А. Флоренсова [16], своими морфологическими эффектами стали пластического коробления фундамента, играют ведущую роль в новейшей структуре района и рассматриваются им как производные от далеко зашедшего сводового изгиба субстрата [16].

Об активности современных тектонических движений можно судить по сильно расщепленному горному рельефу, интенсивности вреза современных рек в троговые долины (верховье р. Ангары), тектоническим рвам в четвертичных отложениях (среднеречье р. Ковокты) и повышенной сейсмичности района.

В июне 1957 г. в пределах Муйской впадины, расположенной несколько восточнее от площади листа (более 80 км), произошло крупное десятибалльное Муйское землетрясение, глубина очага которого определяется в 20 км. Это землетрясение привело к образованию громадных обвалов и зияющих трещин, претяженностью в несколько сотен метров и шириной до 50 м [31].

ГЕОМОРФОЛОГИЯ

На территории листа развит рельеф складчато-блоковых гор (область поднятия и современного эрозионного вреза) и аккумулятивный рельеф межгорных впадин и речных долин (рис. 4).

Рельеф складчато-блоковых гор по характеру главных рельефообразующих факторов и морфологическим признакам разделяется на четыре морфогенетических типа: 1 — высокогорный эрозионно-эрозионный рельеф; 2 — высокогорный денудационно-эрозионный рельеф; 3 — высокогорный эрозионно-денуда-

ционный рельеф; 4 — среднегорный эрозионно-денудационный рельеф.

Высокогорный рельеф, в котором преобладают ледниковые формы, широко развит в Верхне-Ангарском, Дальневосточном, Северо-Муйском и отчасти Муяканском хребтах. Этот рельеф характеризуется наибольшими гипсометрическими отметками (2100—2542 м), сильной расщепленностью, резкой контрастностью и альпинотипным обликом. Расстояние между линиями водоразделов и ближайшими тальвагами составляет от 400 до 1400 м. Относительные превышения водоразделов над днищами долин достигают 900—1300 м. Здесь преобладают преимущественно узкие, гребневидные, пилообразные водоразделы с отдельными пирамидальными вершинами — карлингами, которые возвышаются над соседними седловинами до 300—400 м. Слоны водоразделов прямые или слабовогнутые и почти повсеместно осложнены эрозионными рывинами и скальными останцами. Кругизна склонов в верхней части достигает 70—80, реже 90°, а в нижней выполняется до 25° за счет обвально-осипных процессов. Широко развиты кары, цирки, троговые долины и ригели.

Днища каров, как правило, заняты озерами, а днища троговых долин обычно сложены коренными кристаллическими породами или выполнены мореной. Диаметр каров в верхней части колеблется от 800 до 2500 м, а глубина их составляет 400—800 м. Ступенчатое расположение днищ каров, абсолютные отметки которых колеблются от 1400 до 1800 м, обусловлено неотектоническими движениями и колебаниями снежовой линии. Превышения между днищами каров выражаются от первых десятков до 200 м.

Троговые долины боковых притоков, имеющие длину от 3—4 до 15 км, подвешены над днищами основных долин на высоту 200—500 м. Поперечный профиль долин корытообразный. В днища трогов часто интенсивно «врезаны» (до 15 м) современные узкие русла (особенно в их устьях), обуславливая V-образные, каньонобразные участки долин (притоки р. Верх. Ангара и др.). Продольный профиль долин крутой (0,1—0,15),



Рис. 4. Геоморфологическая схема

рельефа складчатого-блоковых гор (1—5): 1 — высокогорный эрозионно-экзарационный рельеф; 2 — высокогорный денудационный рельеф; 3 — высокогорный эрозионно-денудационный рельеф; 4 — среднегорный эрозионно-денудационный рельеф; 5 — пологоводниковая равнина (нижнее четвертичные аллювиальные и водно-ледниковые отложения); аккумулятивный рельеф: а — среднечетвертичные ледниковые, б — четвертичные и водно-ледниковые отложения; 6 — верхнечетвертичные ледниковые равнины (современные отложения); 8 — предгорная накаточная равнина (среднечетвертичные и современные приподнявшие отложения); 9 — троговые долины (цифрами указаны положение трогов); 10 — кары, 11 — антecedентные участки долин; 5 — U-образные участки долин; 13 — денудационные останцы в мореновании; 14 — разломы; 15 — гейзимические равнины; 16 — оси хребтов; 17 — границы мореногенетических областей рельефа; Владивостокская (I), Муяканская (II), Верхне-Муйская (III).

На невыработанный, ступенчатый, изобилует водоразделами (рр. Чу-ро, Лев. Мамакан, боковые притоки р. Верх. Ангары) или плав-террасы, вложенной в ледниковые отложения.

Основными генетическими поверхностями в данном типе рельефа являются субгоризонтальные ледниковые (экзарационные и аккумулятивные) и наклонные денудационно-экзарационные поверхности. Вдоль зон разрывных нарушений фиксируются поверхности, предопределенные разломами. Все эти по-верхности в настоящее время, подвергаясь водной эрозии, или процессы физического выветривания и гравитационного сноса, начинают утрачивать свой первоначальный облик.

Высокогорный ледуационно-эрозионный рельеф охватывает большую часть северного склона Муяканского хребта. Этот тип рельефа отличается от вышеописанного отсутствием ледниковых форм и более низким гипсометрическим положением. Абсолютные отметки водоразделов изменяются от 1500 до 2349 м. Относительные превышения водоразделов над днишами долин составляют 600—800 м. Здесь наблюдаются как остrogребневидные, кустообразные, так и более слаженные водоразделы. Склоны хребтов крутые (40—75°), часто осложнены эрозионными промоинами и скальными обрывами. Склоны остrogребневидных водоразделов в верхней части имеют слабовогнутый профиль, а в нижней — прямой, обусловленный обвално-осыпными процессами. Склоны слаженных водоразделов, на которых широко развиты курумы, имеют слабовогнутый профиль.

Гидрографическая сеть района разветвленная и густая. Величина эрозионного вреза интенсивно увеличивается по направлению к устью рек, где достигает 150—200 м. Поперечный профиль эрозионных долин здесь V-образный, а продольный — круговой (0,15—0,25), реже ступенчатый.

Основные генетические поверхности — это склоновые поверхности, созданные морозным выветриванием и в меньшей мере — обвально-осыпными процессами. Вдоль Муяканского дрэйонтива наблюдаются склоновые поверхности, предопределенные разломами.

Высокогорно-ледуационный рельеф занимает юго-восточный склон Муяканского хребта и в отличие от предыдущего типа рельефа характеризуется относительно более редкой гидрографической сетью. Абсолютные отметки высот колеблются от 1900 до 2261 м, а днищ долин — от 1200 до 1800 м. Глубина относительного расчленения в среднем составляет 400—700 м.

На водоразделах и вершинах процессы морозного выветривания и солифлюкции формируют местами поверхности гольцового выравнивания (площадью до 1 км²) и крупноглыбовые россыпи. Абсолютные отметки таких выровненных участков изме-няются от 1900 до 2100 м.

Склоны, крутизна которых колеблется от 25 до 70°, имеют прямой профиль и покрыты курумами с единичными останцами. Продольный профиль долин крутой, невыработанный. Реки текут в узких V-образных долинах, которые в верхней части резко расширяются. Аллювий маломощный и наблюдается споро-дически.

Основные генетические поверхности в данном типе рельефа созданы эрозионно-денудационными процессами. Среднегорный эрозионно-ледуационный рельеф приурочен к предгорьям Северо-Муйского, Делон-Уранского и отчасти Южно-Муйского хребтов, обрамляемых об-ластью высокогорного рельефа. Этот тип рельефа, являясь переколым от высокогорного к рельефу межгорных впадин, характеризуется более слаженными мягкими формами. Абсолютные отметки водоразделов изменяются от 1200 до 1859 м. Относительные превышения 500—800 м. Водоразделы плавно переходят в склоны, крутизна которых достигает 25—45°.

На склонах и водоразделах наряду с широко развитыми денудационными останцами наблюдаются выровненные поверхности, на которых фиксируются древнечетвертичные аллювиальные и водно-ледниковые отложения (левобережье р. Муйана). Продольный профиль долин прямой с уклонами 0,05—0,10, а поперечный V-образный. Русла рек почти лишены аллювия.

Основные генетические склоновые поверхности — эрозионно-денудационные и поверхности, предопределенные разрывными структурами.

Акумулятивный рельеф межгорных впадин и речных долин представлен тремя морфогенетическими типами: 1 — грядово-холмистым рельефом; 2 — аллювиальными слабоволнистыми равнинами; 3 — предгорными наклонными равнинами.

Грядово-холмистый рельеф развит в Муяканской, Ковокгинской впадинах, а также в долинах рек Чуро, Верх. Ангара и Ангаракана. Этот тип рельефа обусловлен леднико-вымы и водно-ледниковыми отложениями, образующими хорошо выраженные конечно-моренные гряды, холмы и увалы, разделенные западинами. Последние обычно заняты разнообразными по форме и мелкими по величине (1—25 га) подпружненными озерами. Некоторая часть озер соединена между собой прото-камы. Глубина относительного расчленения в среднем равна 60—120 м.

Данный рельеф интенсивно расчленяется эрозионной дея-тельностью современных рек, которые, врезаясь в ледниковые

отложения, формируют I наилученную террасу высотой 1—1,5 м. Уклон русел рек составляет до 20 м на 1 пог. км. Скорость течения воды 1,5 м/с.

Аллювальные слабоволнистые равнины выделены в Муйканской, Верхне-Муйской впадине, а также в долине р. Верх. Ангары. Они представляют собой нерасчлененную почту горизонтальную, слабоволнистую залесенную, местами заболоченную поверхность пойм и речных террас с мелкими озерами и старичками. Террасы наблюдаются неповсеместно, высота их по р. Муйкану составляет 1,5—2; 19; 1,80 м, по долине р. Муи — 3,5 и 8 м, а — Верх. Ангары — 1—1,5 м. Ширина террас достигает 3 км (рр. Муя, Муйкан).

Абсолютные отметки поверхности равнин составляют в Муйканской впадине 608—620 м, Верхне-Муйской 690—697 м, долине р. Верхн. Ангары 642—710 м. Крупные реки, врезанные в рыхлые отложения на глубину до 5—13 м, часто меандрируют, уклоны их русел составляют 0,8—4,5 м на 1 пог. км. Скорость течения воды равна 0,8—1,2 м/с.

Предгорные наклонные равнины наблюдаются вдоль бортов Муйканской, Верхне-Муйской впадин и долин Верх. Ангары и Ангаракана. Абсолютные отметки поверхности этих равнин колеблются: в Муйканской впадине от 610 до 800 м, Верхне-Муйской — от 690 до 700 м, на междуречье Ковокты и Муйканы — от 1300 до 1400 м, в долинах Верх. Ангары и Ангаракана от 730 до 780 м. Относительные превышения достигают 60 м.

Предгорные равнины сложены преимущественно пролесистыми отложениями. Поверхность равнин неровная, волнистая, изрезана долинами крупных ручьев. Величина вреза ручьев около 60 м.

Схема развития рельефа. Современный геоморфологический облик рассматриваемого района является результатом главным образом кайнозойских тектонических движений. По мнению многих исследователей, исходная поверхность денудации, на которой сформировался современный рельеф, представляла собой приподнятую слабо расчлененную донеогеновую равнину. Реликты этой поверхности с корой выветривания, сформировавшейся в течение мела и палеогена [7], установлены юго-западнее рассматриваемого района в основании мощной толщи кайнозойских отложений Баргузинской впадины.

Тектоническая активизация, начавшаяся, по мнению большинства исследователей, в конце палеогена или в начале неогена вызвала своеобразное искривание исходной поверхности (доорганический этап) и расщепление ее затем на блоки вдоль разломов (байкальский рифтогенный этап). В связи с указанными дифференцированными блоковыми движениями большая часть района была приподнята на значительную высоту и явилась объектом интенсивного расщепления. Возникли хребты и впадины.

Этими движениями древняя поверхность выравнивания была в одном случае приподнята и уничтожена денудацией, а в другом — погружена под мощный рыхлый чехол кайнозойских впадин. Таким образом, хребты с момента поднятия подвергаются интенсивному эрозионному расщеплению и неоднократному опадению, а впадины становятся областью накопления плейстоценовых отложений.

На территории в самом начале плейстоцена в хребтах проходит интенсивный эрозионный врез, а во впадинах — накопление толщи речных рыхлых отложений. Такие осадки слагают нижнюю и среднюю части 180-метровой террасы, фрагмент которой сохранился на левобережье среднего течения р. Муйканы. В период максимального поднятия развились наиболее мощное оледенение, которое, по-видимому, было полупокровным. Следы деятельности этой первой эпохи оледенения, вызвавшей дальнейшее расщепление рельефа, сохранились в виде разрушенных трогов (верховье р. Верх. Ангары), моренных и волнисто-ледниковых отложений в пределах средней части Муйканской впадины. По времени это оледенение условно относится к среднему плейстоцену.

В тех участках рельефа, где оледенение не проявилось, вдоль подножия крутых склонов формируются пропловиальные шлейфы. Затем в верхнем плейстоцене происходит дальнейшее расчленение рельефа и формирование долин. В результате мощных тектонических движений, вызвавших поднятие крупных блоков, выше снеговой линии, произошло горно-долинное оледенение, которое и придало рельефу резкую контрастность и альпинийский облик.

Между эпохами оледенения в районе господствовали только процессы эрозии. Эрозионный врез за этот промежуток времени, судя по современному расположению вложенных трогов в осевой части хребтов, составил 200—300 м. Причем оледенение хребтов и накопление в отрицательных формах рельефа ледниковых, водно-ледниковых отложений протекало одновременно с отложением аллювия и пропловия.

Ледниковые формы рельефа, которые сохранились наиболее полно, представлены пирками, карами, карлингами, троговыми долинами и моренными отложениями. Горно-долинное оледенение охватило наиболее воззвышенные части Верхне-Ангарского, Делюн-Уранского, Северо-Муйского и отчасти Муйканского хребтов, со стороны которых сползали ледники вниз вплоть до впадин по уже выработанным долинам. Ледники отлагали огромную массу обломочного материала в виде конечно-моренных гряд, холмов и уваллов. В тех участках рельефа, где оледенение не проявилось, древний рельеф был переработан в результате действия различных процессов денудации. В это время в Муйканской впадине и долине р. Верх. Ангары формируются речные террасы, а вдоль крутых склонов происходит образование

проливиальных шлейфов. Изменение климатических условий вызвало сокращение и таяние ледника, наступили период эрозии онного расщепления, проложающийся и по сей день.

В настоящее время рельеф района переживает эпоху активных тектонических дифференцированных поднятий, сопровождающихся эрозионным врезом рек как в осевой части хребтов, так и в пределах впадин. Во впадинах реки размывают ледниковые отложения и формируют современные поймы.

Результатом кайнозойских блоковых движений является образование уступов (до 180 м) в рыхлых отложениях впадин и окончательное оформление антecedентных участков долин крупных рек Ковокты, Ангаракана и др., которые успевают пропиливать воздымающиеся на их пути тектонические блоки. Во внутреннем поле впадин отмечаются заболоченные участки, испытывающие местные погружения.

Анализ геоморфологической обстановки показывает, что в рассматриваемом районе, испытывавшем в кайнозойское время тектонические движения преимущественно положительного знака, не было благоприятных условий для образования россыпных месторождений.

Поисково-разведочные и региональные тематические работы на россыпное золото [20, 27] в смежных районах показали, что богатые россыпи золота были сформированы еще в голоценовый период, на сохранность которых отрицательно сказалось действие ледников. Россыпи современной гидросети, имеющей незначительный период существования, менее перспективны. В рыхлых отложениях рассматриваемого района наблюдаются знаковые содержания следующих рудных минералов: золота, маргандимита, галенита, молибденита, флюорита, шеелита, марганцевых, висмутовых, тантало-ниобиевых и других минералов, из которых только молибденит, висмутовые и тантало-ниобиевые минералы образуют ореолы рассеяния.

ПОЛЕЗНЫЕ ИСКОПАЕМЫЕ

На площасти листа ко времени проведения геологической съемки М-ба 1 : 200 000 не было известно проявлений полезных ископаемых, за исключением источников термальных вод в бассейнах Верх. Ангары и Мужкана [1, 11]. Данные инженерно-геологических изысканий [28] вдоль трассы проектируемой Байкало-Амурской железнодорожной магистрали указывали на то,

что здесь могут быть выявлены месторождения строительных материалов.

В результате геологосъемочных работ М-ба 1 : 200 000 [24] на площасти листа было выявлено шесть шлиховых ореолов рассеяния: один — молибденита, два — тантало-ниобиевых и три — висмутовых минералов.

МЕТАЛЛИЧЕСКИЕ ИСКОПАЕМЫЕ

Молибден

Ковоктинский ореол рассеяния молибденита (III-1-1) выделен на правобережье р. Ковокты по результатам шлихового опробования М-ба 1 : 50 000. Площадь ореола 40 км², содержание молибденита в 23 шлихах (из 50 отобранных здесь) — редкие знаки. В пределах ореола закартированы кристаллические сланцы и гнейсы, а также гранитоиды конкудеро-мамаканского комплекса. Среди всех разновидностей пород установлены немногочисленные маломощные (5—10 см) жилы кварца, мелкозернистых гранитов и ортотектитовых пегматитов, в которых местами наблюдается редкая вкрапленность молибденита в виде чешуек и розеток размером от долей миллиметра до 1 см. Ореол практического интереса не представляет.

Тантал и ниобий

Верхне-Ангарский ореол рассеяния тантало-ниобиевых минералов (I-1-2) выделен на межгоречье Чуро и Верх. Ангары по результатам шлихового опробования М-ба 1 : 200 000. Площадь ореола 150 км², содержания тантало-ниобатов в 48 (из 160 отобранных) шлихах весовые, до 4 г/м³. По данным рентго-структурного анализа, тантало-ниобиевые минералы представлены бетафитом, гатчетолитом и поликразом. В пределах ореола распространены гранитоиды конкудеро-мамаканского комплекса, рассеченные многочисленными жилами ортотектитовых пегматитов мощностью от 5 до 50 см и протяженностью не более 20 м. Минералогическим анализом протолочек тантало-ниобаты установлены в пегматитах в количестве до 3,5 кг/т; кроме них, в пегматитах в качестве акцессорных присутствуют торит, ортит, циртолит и монацит. Доля пегматитовых жил в объеме гранитоидного plutona невелика (5—10%). Данное проявление признано неперспективным.

Ковоктинский ореол рассеяния тантало-ниобиевых минералов (IV-1-1) выделен в верховье р. Ковокты по результатам шлихового опробования М-ба 1 : 200 000. Площадь ореола 10 км², содержания тантало-ниобатов в шлихах весовые, до 2 г/м³. Данное проявление по геологической обстановке и перспективности аналогично предыдущему.

Висмут

Оранский ореол рассеяния висмутовых минералов (IV-3-1) выделен в бассейнах Орана и Уликера по результатам шлихового опробования М-ба 1 : 200 000. Площадь ореола 180 км², содержания висмутовых минералов в 71 шлихах (из 170 отобранных в пределах ореола) знаковые. Наряду с этими минералами,

в шлихах часто отмечаются молибденит, флюорит, редко марганцевые минералы и в единичных пробах — золото и галенит в редких знаках.

В пределах ореола распространены кристаллические сланцы, гнейсы, метаэфузивы кислого состава и гранитоиды конкудесколькими разрывными нарушениями, определяющими Муяканский ромамаканского комплекса. Эти образования рассеяны неподалеком от разлома. В зонах дробления выявлены отдельные кварцевые жилы мощностью до 30 см и видимой протяженностью до 5—10 м. Минералогический анализ 5 протолочек в кварце установлена пирит и халькопирит в редких знаках. По данным спектрального анализа 15 скопок и 5 штрафных проб, в кварце фиксируются аномальные содержания свинца (до 0,02%), мели (до 0,03%), молибдена (до 0,15%), висмута (до 0,006%) и реже — олова (до 0,003%).

По результатам металлометрического опробования в пределах ореола выделено пять потоков рассеяния: три потока молибдена (0,0003—0,0005%) длиной от 1,5 до 2 км, один — никелий (0,002—0,004%) длиной 4 км и один бария (0,2—0,5%) длиной около 5 км. В единичных пробах фиксируются вольфрам (0,003%) и аномальные содержания меди (0,005%).

Данное проявление заслуживает проведения поисково-исследований работ на золото; здесь могут быть выявлены кварцевые или малосульфидные кварцевые золотоносные жилы, известные в аналогичной геологической обстановке юго-восточнее рассматриваемого района.

Ангараканский ореол рассеяния висмутовых минералов (III-1-2) выделен на левобережье одноименной реки по 8 шлихам, в которых, наряду с висмутовыми минералами, присутствуют тетрадимит, молибденит, флюорит, галенит и (в двух шлихах) золото в редких знаках. Площадь ореола около 5 км². По геологической обстановке данное проявление аналогично предыдущему. Здесь также выявлено несколько малосульфидных кварцевых жил мощностью до 20 см. По данным спектрального анализа 4 штрафных проб, в кварце содержатся серебро (0,0003%) и золото (0,0003 г/т). Данный ореол, так же как и предыдущий, имеет поисковое значение на обнаружение золотоносных кварцевых жил.

Чурокский ореол рассеяния висмутовых минералов (I-1) выделен на правобережье р. Чуро по 11 шлихам со знаковым содержанием минералов висмута. Площадь ореола около 10 км², в его пределах распространены гранитоиды конкудера-ромамаканского комплекса и широко проявлены дистонктические тектоники (зона Чурокского разлома). Гранитоиды здесь имеют повышенную трещиноватость, а вдоль разрывов, определяющих Чурокский разлом, они сильно катаклизированы и эпилитизированы. Данный ореол практического значения не имеет.

Источники минеральных вод

На площади известны четыре термальных источника, одни из которых («Новый») приурочен к Верхне-Ангарской разрывной структуре, а три других — к Перевальскому разлому.

Источник «Новый» (II-1-1) расположен на левобережье р. Верх. Ангара, близ западной рамки листа. Воды выходят на поверхность лестью грифонами в тыльном шве I надплойменной террасы реки. Расстояние между крайними грифонами 50 м. Общий лебит источника 1,6 л/с, лебит грифонов от 0,05 до 1 л/с. Температура воды колеблется от 37,5 до 45,5°. Вода прозрачная, бесцветная, без вкуса и запаха.

Химический состав воды отражается следующей формулой:

$$M_{\text{Na}, \text{Fe}} \frac{\text{SO}_4, 49 \text{ HCO}_3, 44 \text{ Cl} 17}{(\text{Na} + \text{K}) 95 \text{ Ca} 3 \text{ Mg} 2} \text{ pH 7,6 T } 37,5 - 45,5 D 1,6$$

Это сульфатно-гидрокарбонатная нагретая вода; из микро компонентов в ней установлен только фтор в количестве 14 мг/л.

Источник «Длинный» (III-3-1) расположен на левобережье р. Муяка, в 6,5 км северо-западнее устья р. Орана. Воды выходят на поверхность двадцати грифонами в подложке склона долины, как непосредственно из трещин в скальном уступе, так и из-под глыбовой россыпи катаклизированных гранитов. Расстояние между крайними грифонами 80 м. Общий лебит источника около 25 л/с, лебит отдельных грифонов не превышает 1,5 л/с. Температура воды 42—45°. Вода без цвета, вкуса и запаха. Ее химический состав отражается следующей формулой:

$$M_{\text{Na}, \text{Fe}} \frac{\text{HCO}_3, 70 \text{ SO}_4, 17 \text{ Cl} 13}{(\text{Na} + \text{K}) 80 \text{ Ca} 16 \text{ Mg} 14} \text{ pH 7,4 T } 42 - 45 D 25$$

По данным В. А. Албагачевой [1], в воде источника установлены (в мг/л): $\text{H}_2\text{SiO}_3 = 35,1$ и фтор — 1,2.

Источник эпизодически используется местным населением в лечебных целях.

Источник «Перевальный» (III-3-2) расположен в 1,1 км юго-востоку от предыдущего источника. Воды выходят на поверхность двенадцатью грифонами в пологий склон долины, из-под глыбовой россыпи катаклизированных гранитов. Расстояние между крайними грифонами 40 м. Общий лебит источника около 4 л/с, лебит отдельных грифонов колеблется от 0,1 до 0,5 л/с. Температура воды 35°. Вода без цвета, вкуса и запаха. Ее химический состав отражается следующей формулой:

$$M_{\text{Na}, \text{Fe}} \frac{\text{HCO}_3, 51 \text{ SO}_4, 25 \text{ Cl} 13}{(\text{Na} + \text{K}) 86 \text{ Ca} 12 \text{ Mg} 2} \text{ pH 7,7 T } 35 D \approx 4$$

В воде содержится фтор в количестве 5 мг/л.

Кроме того, по данным В. А. Албагачевой [1], в районе источников «Длинный» и «Перевальный» находится еще один тер-

мальный источник. Дебит его около 6 л/с. Температура воды 59° . Вода имеет запах сероводорода и содержит следующие газы (в объемных %): $O_2 = 1$; $(N_2 + \text{редкие газы}) = 99$; $\text{He} + Ne = 0,097$; $(Ar + Kr + Xe) = 1,608$. Химический состав воды отражается следующей формулой:

$$M_{0,3} \frac{HCO_3 49 SO_2 25 Cl 25}{Na 87} T 59 D 6$$

Все охарактеризованные источники термальных вод нуждаются в проведении специальных гидрогеологических и бальнеологических исследований.

ПОДЗЕМНЫЕ ВОДЫ

Основными факторами, определяющими формирование и расположение подземных вод, в районе являются особенности геологического и геоморфологического строения территории, а также наличие большого количества тектонических нарушений. Существенное влияние на режим подземных вод оказывает многолетняя мерзлота. Большая (северная) часть территории характеризуется сплошным развитием многолетнемерзлых пород, а меньшая (бассейн Ковокты, Муякана и Муй) охватывает переходную зону от островного к сплошному развитию мерзлоты. Верхняя граница мерзлоты залягает на глубине от 20—30 см (на северных склонах долин) до 5 м (во впадинах), а нижняя — не известна. По данным геофизических работ, мощность мерзлоты в Верхне-Ангарской впадине, расположенной западнее рассматриваемого района, колеблется от 10 до 700 м [19].

Мощность многолетнемерзлых пород в хребтах, судя по данным других исследователей смежных площадей [8], не менее 100—300 м.

В районе в зависимости от характера залегания, циркуляции и связи подземных вод с водовмещающими породами, а также с учетом данных, полученных на других смежных листах [18, 19], можно выделить следующие водоносные комплексы: 1 — водоносный комплекс четвертичных отложений; 2 — водоносный комплекс зоны трещиноватости кристаллических пород горного обрамления впадин и речных долин; 3 — водоносный комплекс зон разломов.

Водоносный комплекс четвертичных отложений развит в межгорных впадинах и речных долинах. Водовмещающими породами служат речные, озерно-болотные, ледниковые, водно-ледниковые и проловицкие отложения. В районе воды этого комплекса представлены водами, связанными с многолетней мерзлотой, и водами таликов.

Подземные воды, связанные с многолетней мерзлотой, согласно классификации Н. И. Толстикова, подразделяются на три типа: надмерзлотные, межмерзлотные и подмерзлотные.

Надмерзлотные воды делятся на верховодку, грунтовые воды криолитозоны, грунтовые воды пойменных террас и подрусловые.

Верховодка, приуроченная к сезонно-талому слою, широко развита в пониженных формах рельефа и на широких плоских водоразделах (Муяканский хребет, юго-западная часть Северо-Муйского хребта). Мощность верховодки колеблется от 20—30 см (на северных склонах и больших высотах) до 1,5—2 м в пониженных участках. Питание этих вод происходит за счет погруженнных вод и атмосферных осадков.

Грунтовые воды криолитозоны, приуроченные к многолетним заездами озерами в Карак и долинах мелких рек. Питание этих вод происходит за счет поверхностных вод.

Грунтовые воды пойменных террас и подрусловые распространены в районе наиболее широко. Выходы этих вод наблюдаются в долинах рек и ручьев. Здесь они вытекают из-под аллювия в виде небольших ручейков (в притоках рек Верх. Ангары, Муякана, Ангаракана, Чуро и др.), которые затем могут полностью уходить под аллювий и вновь появляться из-под него ниже по течению в виде источников. Режим этих вод находится в прямой зависимости от количества атмосферных и поверхностных водотоков. Один из источников таких вод расположен в долине р. Лев. Мамакана. Он приурочен к песчано-валунно-галечным отложениям. Воды пресные, прозрачные, без вкуса и запаха. Химический состав воды рассматриваемого источника имеет следующий вид:

$$M_{0,11} \frac{HCO_3 50 Cl 50}{(Na + K) 75 Ca 25} pH 6,4 T 6 D 2$$

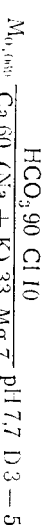
Воды рассматриваемых отложений могут служить надежным источником водоснабжения.

Межмерзлотные и подмерзлотные воды на территории не наблюдались и выделяются по аналогии с водами рыхлых отложений Цито-Баунтовской и Муйской впадин, где они установлены горными и буровыми работами. Судя по этим данным, межмерзлотные и подмерзлотные воды можно ожидать в четвертичных отложениях Муяканской и Ковоктинской впадин. К водам таликов относятся воды зоны аэрации (воды болот, водораздельных пространств, почвенные верховодки), которые практического значения не имеют, и грунтовые воды. Грунтовые воды подразделяются на воды аллювиальных и элювиально-делювиальных отложений.

Воды аллювиальных отложений распространены в пределах Муяканской и Верхне-Муйской впадин. Глубина залегания зеркала грунтовых вод колеблется от 3—4 (левобережье р. Муй) до 120 м (левый борт Муяканской впадины). Воды безнапорные. Питание водоносного горизонта происходит за счет атмосферных осадков.

ферных осадков, поверхностных вод и вод других водноносных комплексов из окружающих гидрологических (горных) массивов. Разгрузка вод осуществляется поверхностными и подгрунтовыми стоками.

Источники, питаемые этими водами, отмечаются в обрывах террас Муи, Мяканы в виде небольших ручейков с дебитом до 1 л/с. Один из таких источников вод расположены в левом берегу р. Муи, в 30 м от ее русла. Здесь в песчаном уступе террасы высотой 4 м наблюдается целый ряд грифонов с общим дебитом 3—5 л/с. Воды слабоминерализованные (0,069 г/л), холодные, пресные, прозрачные, без вкуса и запаха. Химический состав воды имеет следующий вид:



Достаточно большая водообильность аллювиальных отложений позволяет рассматривать эти воды вполне приемлемыми для водоснабжения.

Воды элювиально-ледниковых отложений развиты преимущественно вдоль бортов Ковоктинской, Мяканской и Верхне-Муйской впадин. Эти воды, играющие существенную роль в питании рек в летнее время, зимой исчезают и не могут служить надежным источником водоснабжения.

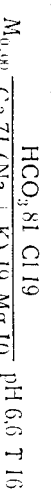
Водоносный комплекс зоны трещиноватости кристаллических пород горного обрамления впадин и речных долин широко развит в хребтах, которые представляют собой громадный гидрогеологический массив. Водовмещающими породами служат трещиноватые скальные породы, представленные прецементированными гранитоидами и в незначительной степени метаморфизованными породами.

Подземные воды в зависимости от трещиноватости коренных пород, мощность которых не установлена, залегают на различных глубинах. Питание этих вод происходит за счет фильтрации атмосферных осадков и поверхностных вод. Разгрузка вод зоны трещиноватости коренных пород происходит в карах, речных долинах и зонах разломов в виде нисходящих небольших ручьев. В левом берегу р. Мяканы, в 10 км ниже устья р. Орана, воды описываемого комплекса выходят в подножье склона из под делювия гранитоидов в виде источника с дебитом менее 1 л/с. Воды слабоминерализованные (0,048 г/л), прозрачные, без вкуса и запаха. Температура воды 4—5°. Химический состав воды следующий:



Водоносный комплекс зон разломов, гидравлически связанный с водами вмещающих пород, развит вдоль крупных северо-восточных и северо-западных разрывных структур. На

площади листа среди вод этого комплекса наблюдаются холодные и термальные. Источники холодных вод установлены вдоль Мяканского, Ангараканского и других разломов. Воды бесцветные, прозрачные, редко с запахом сероводорода. Тип родников исходящий, дебит, определяемый визуально, не превышает 0,4 л/с. Температура воды не превышает 15—16°. На левобережье Мяканы, ниже устья Орана в 0,8 и 6 км, воды описываемого комплекса выходят в подножье Северо-Муйского хребта в виде нескольких небольших источников, приуроченных к гранитоидам Конкулгер-Мамаканского комплекса. Химический состав вод одного из этих источников, имеющего следующий запах сероводорода, следующий:



К термальным водам относятся воды минеральных источников («Новый», «Дикий» и «Перевальный»), описанные в главе «Полезные ископаемые». Химический состав вод горячих источников, в отличие от вод других типов, характеризуется тем или иным содержанием сульфатов, что, вероятно, объясняется сульфидной минерализацией вдоль разломов.

ОЦЕНКА ПЕРСПЕКТИВ РАЙОНА

Площадь листа, исходя из установленных геологических фактов, разделена нами на четыре категории тектонических элементов, имеющих различные перспективы в отношении полезных ископаемых (табл. 6).

Кайнозойский строительный ярус. Из отложений канского яруса промышенное залачение могут иметь лишь песчано-гравийные смеси и пески, установленные в долинах Мяканы и Верх. Ангары. Пески, развитые в долине Мяканы, возле восточной рамки листа, имеют модуль крупности 3,44% и пригодны после отсева пылеватых частиц для получения бетона и балластного яруса [28]. Проведение геологоразведочных работ для определения промышленных запасов этих строительных материалов целесообразно в связи со строительством Байкало-Амурской железной дороги.

Прөвесь кровли и зоны эндоконтакта базальта. На площади листа находятся зоны эндоконтакта базальта. На площади листа залегают базальты, установленные в долинах Мяканы и Верх. Ангары. Пески, развитые в долине Мяканы, возле восточной рамки листа, имеют модуль крупности 3,44% и пригодны после отсева пылеватых частиц для получения бетона и балласта II сорта [28]. Проведение геологоразведочных работ для определения промышленных запасов этих строительных материалов целесообразно в связи со строительством Байкало-Амурской железной дороги.

Случаев они приурочены к провесам кровли. Это кварцевые прожилки и жилы (мощностью до 0,2—0,3 м), изредка содержащие гнейзовые скопления пирита и чешуйки молибдениита. По результатам спектрологического анализа небольшого числа (несколько десятков) сколов и штуфных проб, кварц слабо золотоносный (до 0,0003 г/т золота). Кроме того, пиритизация (в виде мелкой редкой вкрапленности ксенобластов) зафик-

Таблица 6

Тектонические элементы	Площадь, км ² %	Известные проявления полезных ископаемых	Могут быть выявлены месторождения	Субъективная мера вероятности* выявления месторождений	
				Перечисленных полезных ископаемых	Других полезных ископаемых
Кайнозойский структурный ярус, отложения речных долин и межгорных впадин	420 9	—	Песчано-гравийных смесей и песков	0,99	0,05
Провесы кровли и зоны эндоконтакта батолита	500 11	Шлиховые ореолы рассеяния висмутовых минералов и молибденита	Золота	0,40	0,10
Глубинные (ядерные) части батолита	3680 80	То же	Гранита, пригодного для получения щебня, бута и облицовочного материала	0,99	0,10
Зоны разломов	400 9	Источники термальных вод	Источники термальных вод, редких металлов	0,90	0,10

* Субъективная мера вероятности — это число, заключенное между 0 и 1 и выражющее степень уверенности субъекта в истинности данного утверждения [Л. Ластед, 1971 г.]

сирована в слюдистых кварцитах, слагающих пласти мощностью от 2 до 18 м среди кристаллических сланцев муйской серии. По результатам спектролитометрического анализа пяти сколовых проб, содержание золота в пиритизированных слюдистых кварцитах составляет 0,0001—0,01 г/т.

Шлиховой съемкой в пределах провесов кровли выявлены лишь ореолы рассеяния висмутовых минералов, с единичными знаками золота, а также установлено присутствие в аллювии других минералов — спутников золота: тетрадимита, галенита, флюорита и молибдита. Металлолитометрической съемкой здесь выявлены только слабоконтрастные (в 4—5 раз выше фона) потоки рассеяния (0,003—0,0008%) и отдельные аномальные точки (0,001%) молибдена. Аэрофизической съемкой аномалий над провесами кровли не установлено.

Приведенные данные указывают на возможность открытия в районе коренных месторождений золота, залегающих среди метаморфических пород. С целью выявления этих месторождений прежде всего следует провести шлиховое опробование склоновых отложений с проходкой колпушей, а также лitoхимические поиски золота с учетом природных условий (по потокам рассеяния, опробование склоновых отложений, опробование свалов и коренных обнажений). Особое внимание необходимо обратить на опробование слюдистых кварцитов.

Ядерные части батолита. Изучение геохимических особенностей гранитоидов показало, что дисперсия содержаний всех элементов сравнительно невелика. По данным Л. В. Таусона, М. И. Кузьмина и др. [1969 г.], такое распределение поддержаний характерно для непродуктивных интрузий. По ряду других геохимических критерий, установленных Н. Н. Амшинским [1967 г.] и А. А. Ситниковым [1968 г.], рассматриваемые гранитоиды бесперспективны, в частности, на tantal, берилл, олово и молибден.

Крупномасштабной аэрогеофизической съемкой выявлена лишь одна магнитная аномалия, обусловленная выходами габброидов бирамильского комплекса. Наземной радиометрической съемкой зафиксирован ряд точечных аномалий, связанных с пегматитовыми жилами и реже с гранитоидами. Интенсивность аномалий колеблется от 74 до 1035 мкР/ч; все они вызваны присутствием в породах торита (до 40 г/т), радиоактивного циркона (до 230 г/т) или ортита (до 2,5 кг/т) и не представляют практического интереса. Шлиховой и металлолитометрической перспективных ореолов на данной площади не выявлено.

По совокупности изложенных данных ядерные части батолита оцениваются как бесперспективные на все виды полезных ископаемых, кроме строительных материалов.

Пригодность гранитоидов для получения щебня, бута и облицовочного материала была установлена Бампроектом еще в 1942 г. По данным лабораторных испытаний 6 проб, гранитоиды

конкудеро-мамаканского комплекса, развитые вдоль проектируемой трассы Байкало-Амурской железной дороги, характеризуются следующими физико-механическими показателями: объемный вес — 2,43—2,78 г/см³; водопоглощение — 0,37—0,45%; временное сопротивление сжатию в сухом состоянии — 1072—1624, в водонасыщенном — 760—1189 и после 25-кратного замораживания — 946—1156 кгс/см²; на копре Пелку гранитоиды выдерживают 9—10 ударов; износ в барабане Девала составляет 5,4%.

Месторождения аналогичных гранитоидов в случае потребности в этом строительном материале могут быть выявлены во многих пунктах района вблизи будущей трассы железной дороги в пределах рассматриваемого листа, площадь которого на 80% сложена гранитами.

Зоны разломов. Из проявлений полезных ископаемых, приуроченных к разрывным нарушениям, могут быть выявлены гидротермальные проявления редких металлов и дополнительно источники термальных вод, которые будут представлять практический интерес после завершения строительства Байкало-Амурской железной дороги. Тогда они будут играть важную роль как в создании туристских баз и здравниц, так и в организации парниково-тепличных хозяйств.

В связи с вышеизложенным, рекомендуется проведение геологической съемки м-ба 1:50 000 в первую очередь в бассейнах Орана и Уливера (лист О-144-В) и поисково-реконструкционные (на тантал-ниобиевую и золотую минерализацию) работы (м-б 1:25 000) в бассейне р. Ковокты (О-143-В-а; О-143-А-а, В) и на Междуречье Верх. Ангары и Чуро (О-131-А-а, В, Г; О-131-Б-в, Г).

ЛИТЕРАТУРА

Опубликованная

- Лебягачева В. А. Условия формирования источников типа акротерм в Северном Забайкалье. «Недра», 1965, с. 74—75.
- Белов И. В. Основные черты вулканизма Саяно-Байкальской горной области. Тр. Первого совещ. по металлогении Зап. Забайкалья, Иркутск, 1958, с. 33—48.
- Васеева Г. Л., Кондилева Р. Я. и др. Распространение многослойной мерзлоты. Атлас Забайкалья. Главное Управление Геодезии и Картографии при Совете Министров СССР, М., Иркутск, 1957, 73 с.
- Гинзбург И. В., Ефремова С. В. Количественно-минеральный состав гранитоидов и его значение для вопросов петрологии и плюнктологии (на примере Колского п-ова, Средней Азии и Казахстана). «Советская геология», 1962, № 3, с. 67—81.
- Жасабов Д. Геологическая карта СССР м-ба 1:200 000, серия Прибайкальская. Лист № 49-Уг. Объяснительная записка. 1962, 66 с.
- Колесников А. В., Анисимова З. М. Геологическая карта СССР м-ба 1:200 000, серия Прибайкальская. Лист № 49-Их. Объяснительная записка. Госгеотехиздат, 1960, 70 с.
- Ламакин В. В. Неотектоника Байкальской впадины. Тр. ГИН АН СССР, вып. 187. «Наука», 1968, 247 с.
- Лысак С. В. Геотермические условия и термальные воды южной части Восточной Сибири. «Наука», 1968, 320 с.
- Малышев А. А. Геологическая карта СССР м-ба 1:200 000, серия Бодайбинская. Лист О-50-XXXI. Объяснительная записка. 1960, 64 с.
- Майстер А. К. Предварительный отчет о геологических исследованиях в бассейнах рек Мамакана, Бол. и Мал. Конкудеры, Верхней Ангары и Салой. Иссled. в золотоносных обл. Сибири. Тенский золотопоисковый участок. Геол. отчет. 1913, 225 с.
- Михайлов М. П., Толстиков Н. Н. Минерализация источников и гравийные озера Восточной Сибири, их гидрогеология, бальнеоклимат и курортологическое значение. Иркутск, 1946, 90 с.
- Салоп Л. Н. Геологическая интерпретация данных аргонового метода определения абсолютного возраста горных пород. «Геология и геофизика», № 1, 1963, с. 3—19.
- Салоп Л. Н. Геология Байкальской горной области, т. 1, Стратиграфия. «Недра», 1964, с. 1—496.
- Салоп Л. Н. Геология Байкальской горной области, т. 2, Магматизм, текtonика, история геологического развития. «Недра», 1967, с. 1—638.
- Флоренсов Н. А. Структура и геологическая история впадин бай-

кальского типа. Матер. XXXII Сессии МГК, докл. сов. геол., пробл. 4—«Деформация пород и тектоника». «Наука», 1964, с. 252—261.

16. Флоренсов Н. А. История геологического развития. В кн.: Геология СССР, т. XXXV—Бурятская АССР, ч. 1—Геологическое описание. «Недра», 1964, с. 581—592.

Ф о н д о в а я *

17. Арсентьев В. П., Батурина Е. Е. и др. Металлогеническая и прогнозная карта Бурятской АССР м-ба 1 : 500 000. Объяснительная записка. Отчет о работе по темам № 39 за 1961—1963 гг. и 117 за 1964 г. № 002906.
18. Бажин Ю. М. Геологическая карта СССР м-ба 1 : 200 000, серия Прибайкальская. Лист N-49-V. Объяснительная записка (авт. вариант). 1965, № 03286.
19. Бажин Ю. М., Сорокин В. А. и др. Геологическая карта СССР м-ба 1 : 200 000, серия Бодайбинская. Лист О-49-XXXV. Объяснительная записка (авт. вариант), 1969, № 03957.
20. Болков Л. С., Ендринский А. С. Золотоносность территории Бурятской АССР. Матер. к комплексной металлогенической карте м-ба 1 : 500 000 территории Бурятской АССР. Отчет о работах темы № 66 за 1961—1962 гг. 1962, № 002394.
21. Заицев П. Ф. Геологическая карта СССР м-ба 1 : 200 000, серия Прибайкальская. Лист N-50-I. Объяснительная записка (авт. вариант). 1965, № 03283.
22. Заицев П. Ф. Геологическая карта СССР м-ба 1 : 200 000, серия Прибайкальская. Лист N-49-XV. Объяснительная записка (авт. вариант). 1969, № 03959.
23. Калинина К. П., Кокорин Д. А. Геологическое строение верхней р. Муя и прилегающих к ней хребтов. Отчет Муйской геологической партии м-ба 1 : 1 000 000 за 1947 г. 1948, № 0690.
24. Карапшик Н. С., Ушаков А. А. и др. Геологическое строение и полезные ископаемые бассейнов рр. Верхней Ангары, Муяканы, Ангары-кала и Чуро. Отчет Верхне-Ангарской ГСП за 1969—1972 гг. 1973, № 04602.
25. Кудинов Б. П., Яковлев В. А. и др. Геологическая карта СССР м-ба 1 : 200 000, серия Бодайбинская. Лист О-49-XXIX. Объяснительная записка (авт. вариант). 1961, № 09057. Геофонд Иркутского геол. управления.
26. Литвинский Е. А., Занинцев А. Н. Критерий к расчленению и металлогенической специализации гранитондов баргузинского и «Витимского» интрузивных комплексов. Отчет о работах по теме № 186 за 1969—1972 гг. 1972, № 4390.
27. Михно Н. П. Средне-Витимская горная страна. Отчет о геологических работах Баргузинской экспедиции за 1943—1947 гг. 1949, № 1542.
28. Плотников Д. Е. Геологический обзор перспектив использования разведенных и выявленных новых месторождений строительных материалов, расположенных на территории, лягущейся к трассе проектируемой железной дороги. Жене — Нижне-Ангарск — Тыда — Ургал — Комсомольск-на-Амуре. 1970, № 0384.
29. Попов П. А. Сводная гравиметрическая карта Бурятской АССР м-б 1 : 1 000 000. Отчет о работе по теме № 146 за 1966—1969 гг. 1969, № 03904.
30. Ревякин Л. В. Геологическая карта СССР м-ба 1 : 200 000, серия Бодайбинская. Лист О-49-XXX. Объяснительная записка (авт. вариант). 1961, № 07298. Геолфонд Иркутского геол. управления.
31. Соловьев В. П., Тресков А. А. и др. Предварительный отчет по обследованию палеогеосинклинальной области Муйского залегания 1957 г. 1959, № 01259.

32. Сорокин В. А., Ушаков А. А. и др. Геологическое строение и полезные ископаемые бассейна верхнего течения р. Верх. Ангары. Отчет Верхне-Ангарской ГСП за 1969 г. 1970, № 04011.

33. Суслеников В. В. Белоглагазова О. В. Отчет Забайкальской аэромагнитной партии за 1957 и 1958 гг. 1959, № 01816.

34. Флоренсов Н. А., Логачев Н. А. и др. Мезозойско-кайнозойские впадины Байкальской горной области и перспективы их нефтегазоности. Отчет по теме № 2 за 1952—1955 гг. 1955, № 67.

35. Шалек Е. А., Колпинская Н. Т. Новые данные по геологии восточной части хр. Верхне-Ангарского (бассейны Прив. Мамы и верховьев Берх. Ангары). Отчет Верхне-Ангарской партии за 1957 г. 1958, № 01703.

36. Шпильков А. Л., Горбунов Ю. Г. Результаты крупномасштабной аэрогеофизической съемки и наземной оценки аномалий на Ангаро-Муйской плоскости, Парамском, Тунгусском, Кудунском и Сосново-Озерском участках Бурятской АССР. Отчет о работах Аэрогеофизической партии за 1969 г. 1970, № 04054.

* Работы, для которых не указано место хранения, находятся в Бурятских геологических фондах.

ПРИЛОЖЕНИЕ

**СПИСОК ПРОЯВЛЕНИЙ ПОЛЕЗНЫХ ИСКОПАЕМЫХ,
ПОКАЗАННЫХ НА ЛИСТЕ О-49-XXXVI
КАРТЫ ПОЛЕЗНЫХ ИСКОПАЕМЫХ М-БА 1 : 200 000**

Индекс клетки на карте	№ на карте	Вид полезного ископаемого и название (местонахождение) проявления	Ссылка на литературу (номера по списку литературы)	Примечание
III-1	1	Молибден <i>Тантал и ниобий</i>	[24]	Шлиховой Ореол
I-1	2	Верхне-Ангарский Ковоктинский	[24]	То же
IV-1	1	<i>Висмут</i>	"	"
I-1	1	Чурокский	"	
III-1	2	Ангараканский	"	
IV-3	1	Оранский	"	
		<i>Источники минеральных вод</i>	[24] [1, 24]	Горячий
II-1	1	"Новый"	"	
III-3	2	"Дикий"	"	
		"Перевальский"	"	
				СОДЕРЖАНИЕ
				Стр
		Введение		3
		Геологическая изученность		4
		Стратиграфия		9
		Изогруппы образований		20
		Тектоника		31
		Геоморфология		39
		Полезные ископаемые		46
		Подземные воды		50
		Оценка перспектив района		53
		Литература		57
		Список проявлений полезных ископаемых		60

Редактор *T. I. Matis*

Технический редактор *C. K. Леонова*

Сдано в набор 9.04.79. Подписано к печати 27.08.79. Тираж 149
Формат 60×90/16 Уч.-изд. л. 4,66. Заказ 0102

Ленинградская картфабрика
объединения «Аэрогеология»